



Introduction au Deep Learning avec PyTorch

Partie 2 : Réseaux de neurones

Laurent Risser

Ingénieur de Recherche à l'Institut de Mathématiques de Toulouse et au 3IA ANITI

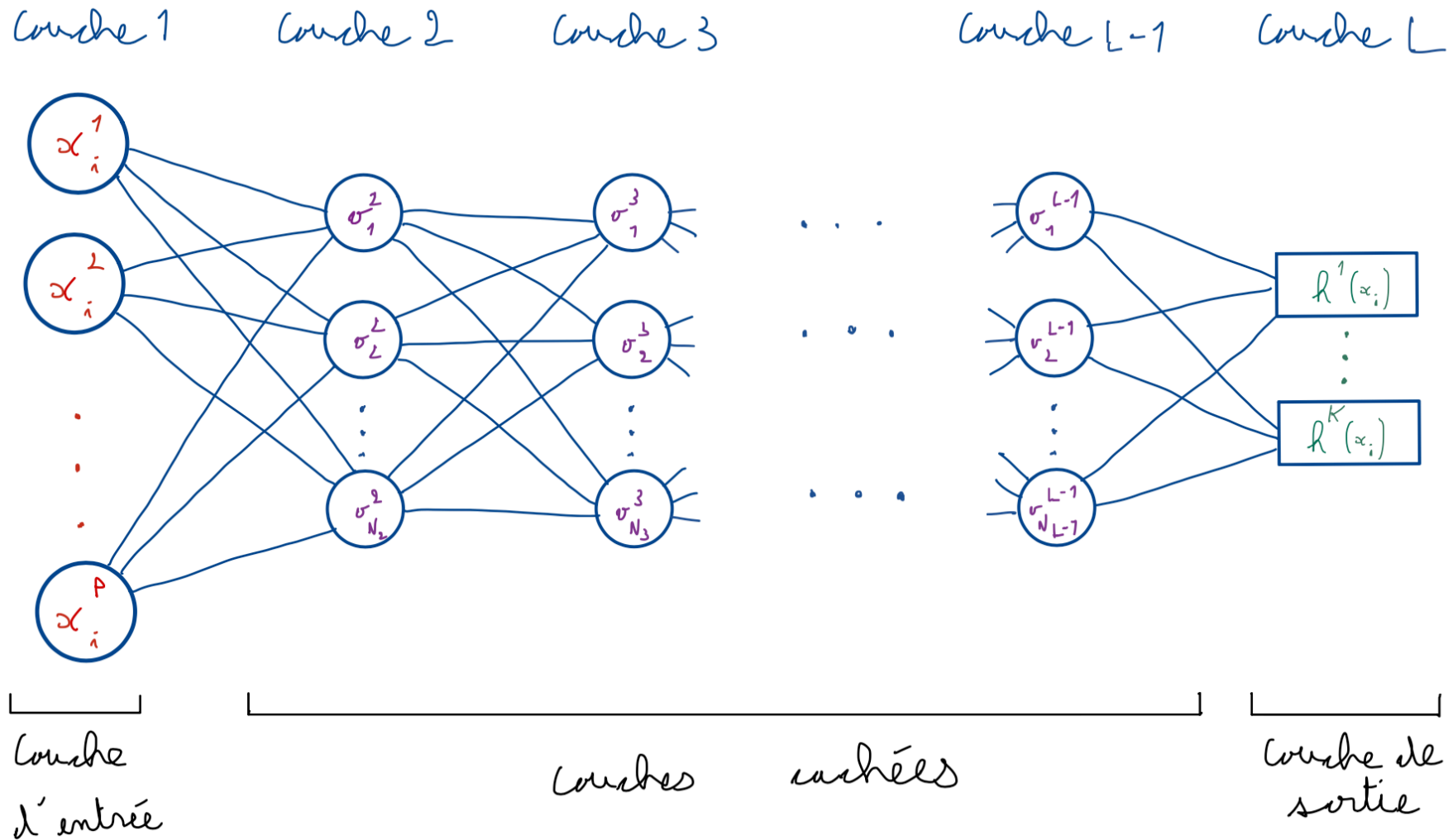
lrissier@math.univ-toulouse.fr

Nous avons vu le modèle linéaire pour faire des prédictions :

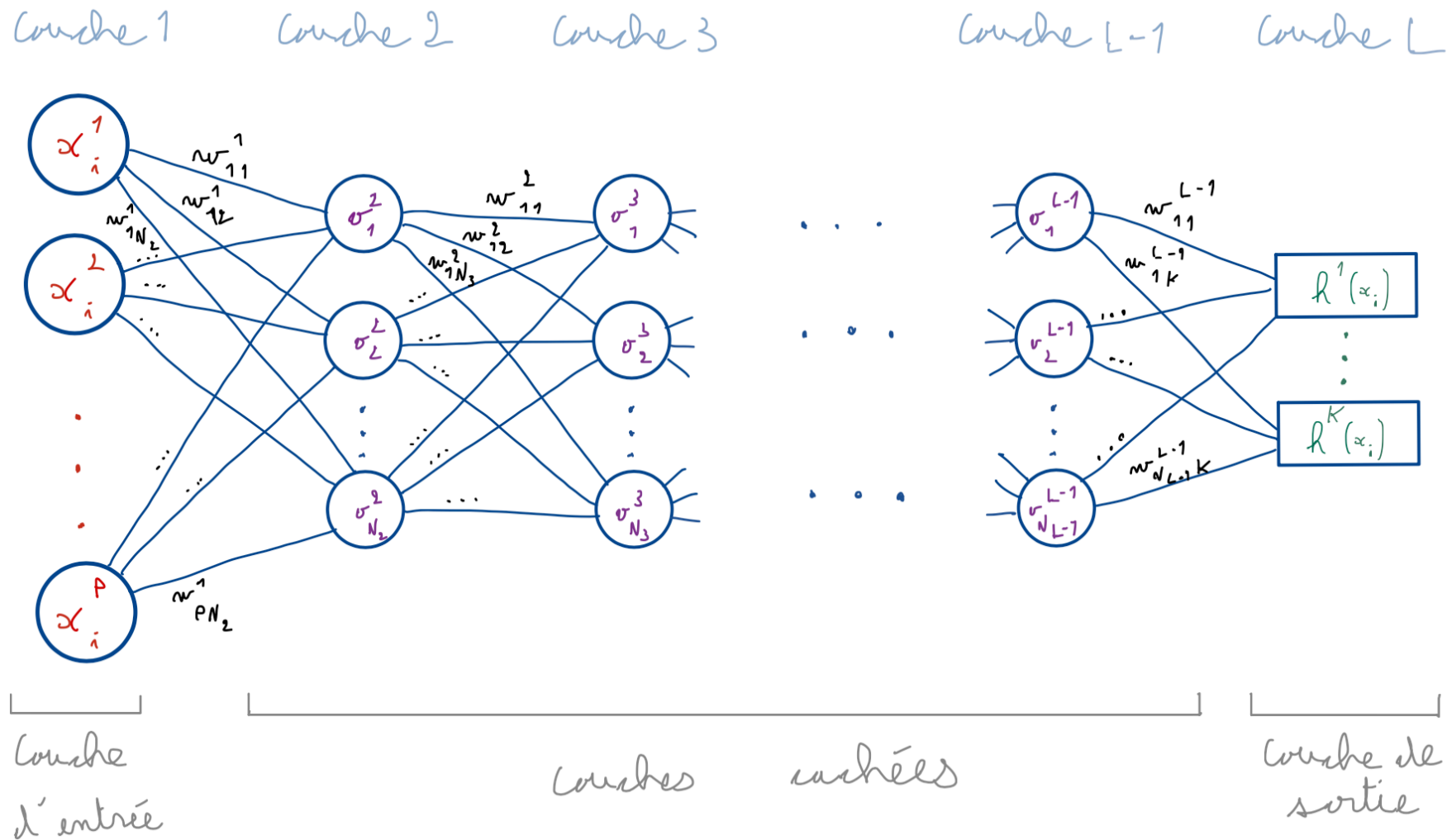
- **Modèle linéaire** : $\widehat{y}_{new} = h_{\Theta}(x_{new}) = w_0 + \sum_{j=1}^p w_j x_{new}^j$
- **Paramètres** : $\Theta = \{w_0, w_1, \dots, w_p\}$

Généralisons le avec une architecture de réseau de neurone classique : **Le perceptron multi-couches**

2.1) Réseaux de neurones → Perceptron multi-couches



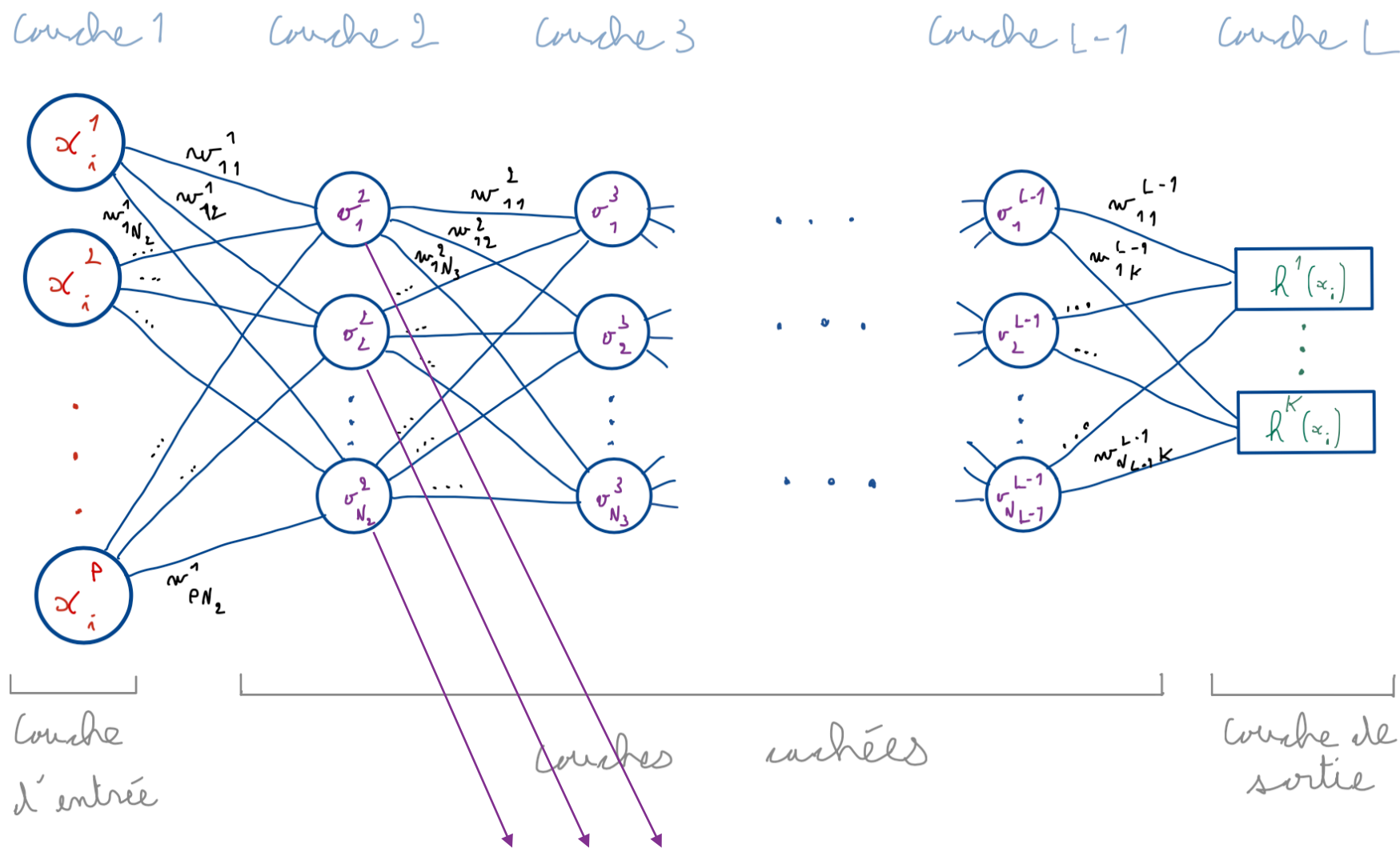
2.1) Réseaux de neurones → Perceptron multi-couches



$\forall k = 1, \dots, p :$

$$o_k^1 = x_i^k$$

2.1) Réseaux de neurones → Perceptron multi-couches

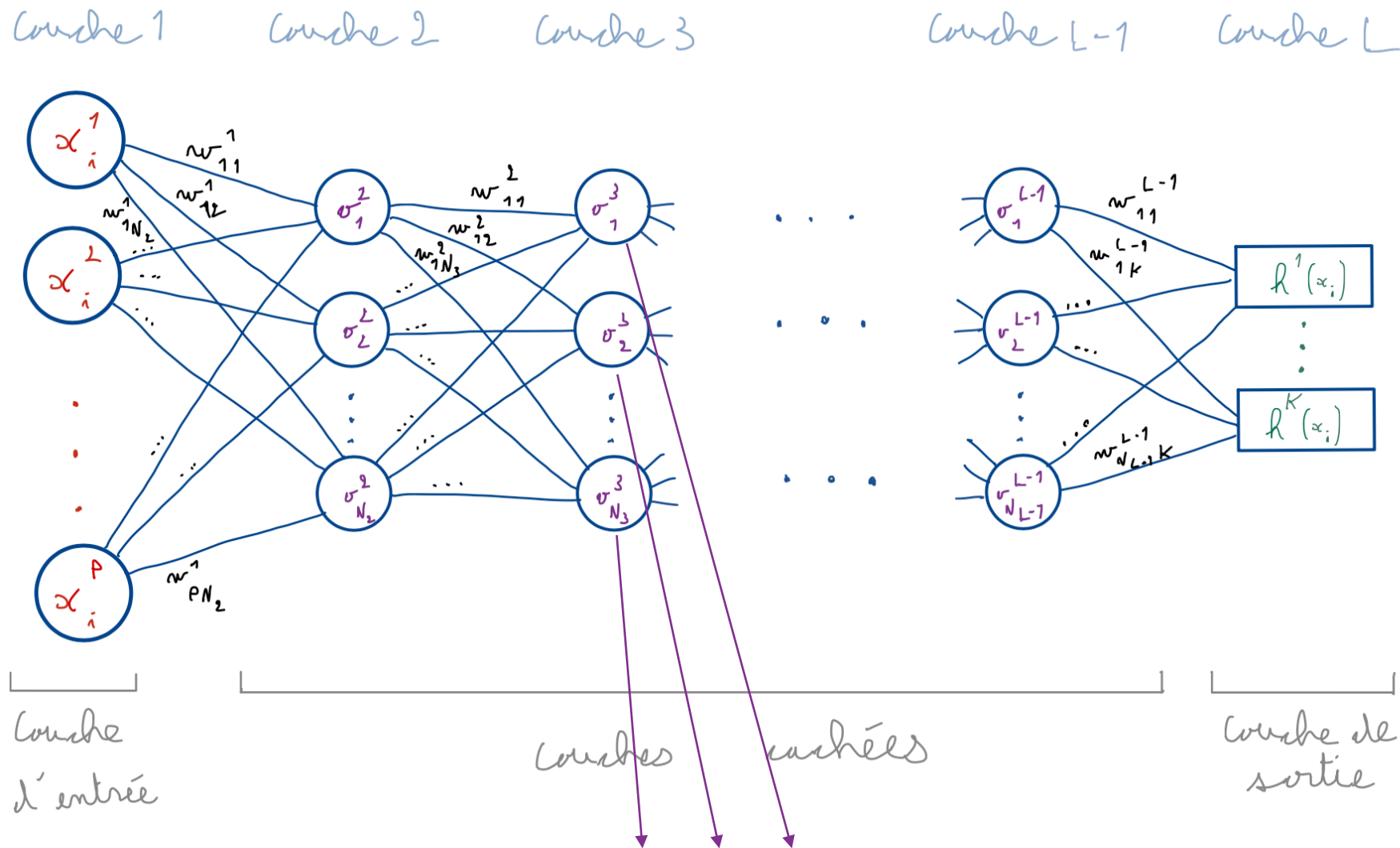


$\forall k = 1, \dots, p :$
 $o_k^1 = x_i^k$

$$\begin{cases} s_k^{l+1} = \sum_{p \in \{1, \dots, N_l\}} w_{pk}^l o_p^l \\ o_k^{l+1} = \varphi(s_k^{l+1}) \end{cases}$$

$\varphi(\cdot)$ est une fonction linéaire, dite d'activation (ex : ReLU, sigmoïde, ...)

2.1) Réseaux de neurones → Perceptron multi-couches



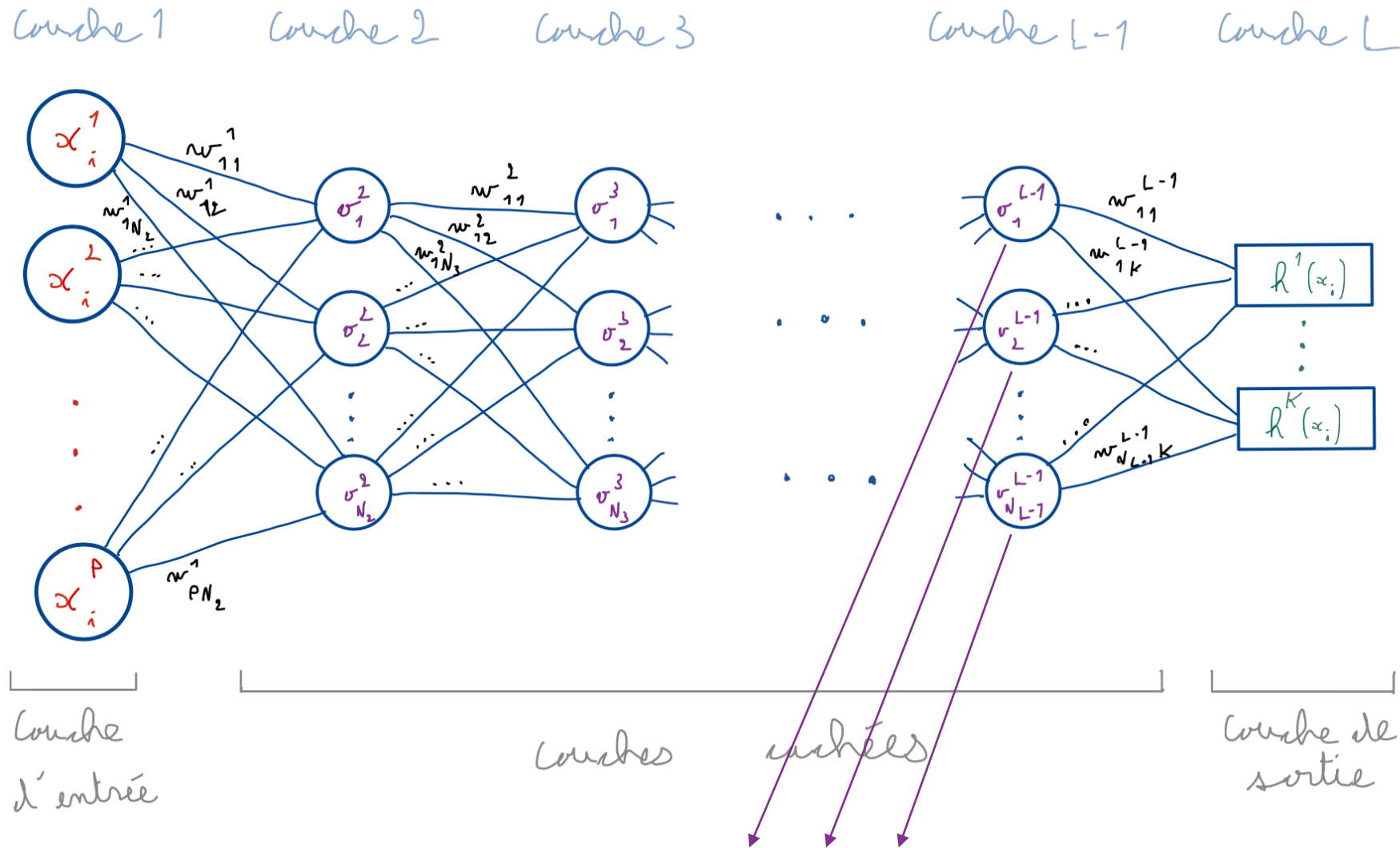
$\forall k = 1, \dots, p :$

$$o_k^1 = x_i^k$$

$$\begin{cases} s_k^{l+1} = \sum_{p \in \{1, \dots, N_l\}} w_{pk}^l o_p^l \\ o_k^{l+1} = \varphi(s_k^{l+1}) \end{cases}$$

$\varphi(\cdot)$ est une fonction linéaire, dite d'activation (ex : ReLU, sigmoïde, ...)

2.1) Réseaux de neurones → Perceptron multi-couches

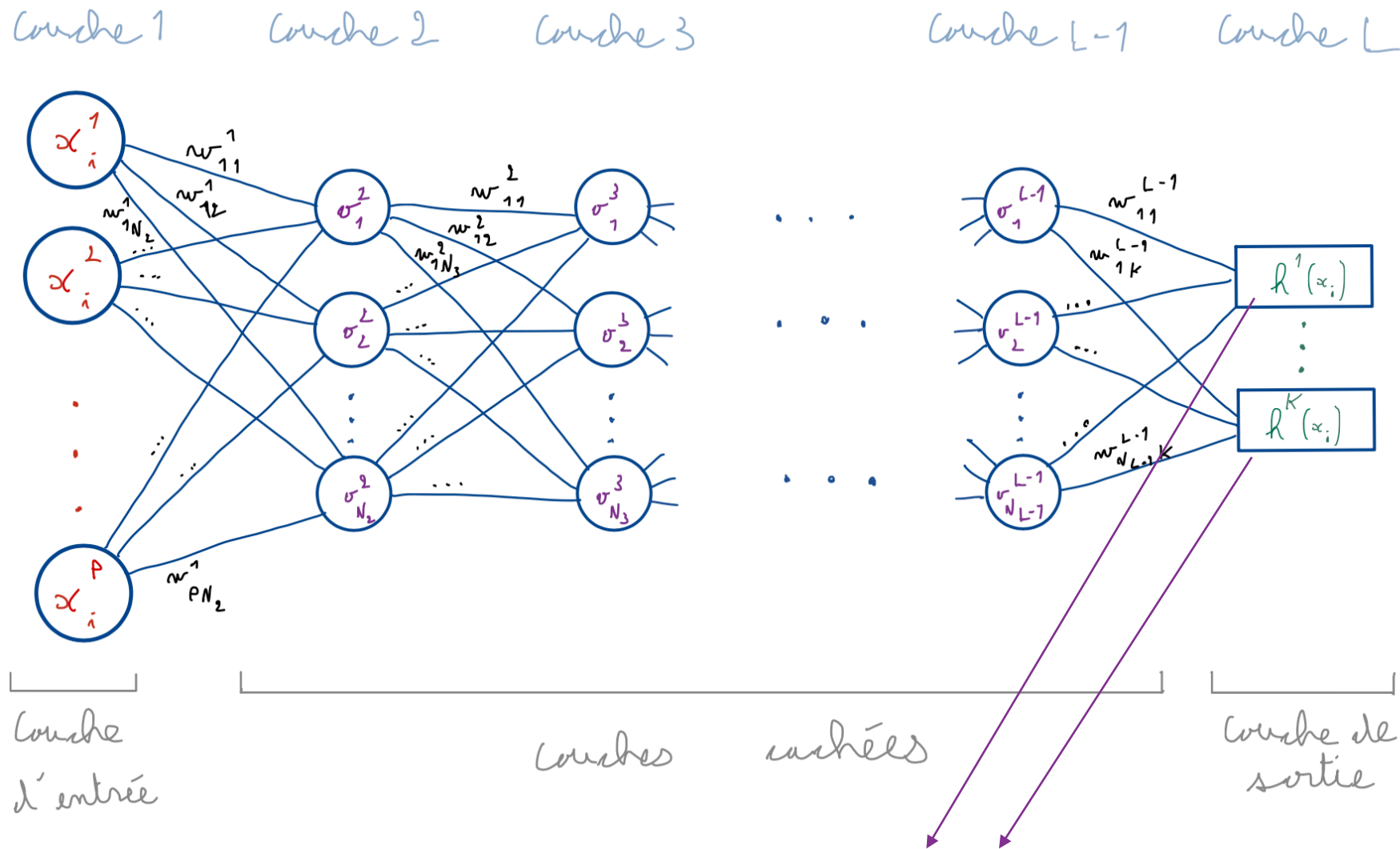


$\forall k = 1, \dots, p :$
 $o_k^1 = x_i^k$

$$\begin{cases} s_k^{l+1} = \sum_{p \in \{1, \dots, N_l\}} w_{pk}^l o_p^l \\ o_k^{l+1} = \varphi(s_k^{l+1}) \end{cases}$$

$\varphi(\cdot)$ est une fonction linéaire, dite d'activation (ex : ReLU, sigmoïde, ...)

2.1) Réseaux de neurones → Perceptron multi-couches



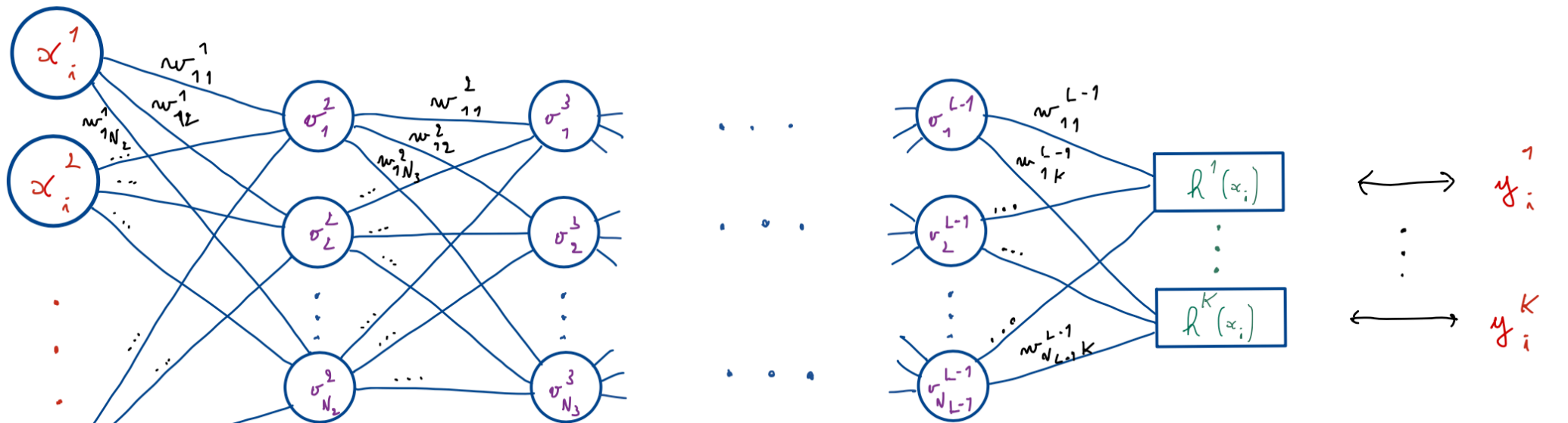
$\forall k = 1, \dots, p :$

$$o_k^1 = x_i^k$$

$$\begin{cases} s_k^{l+1} = \sum_{p \in \{1, \dots, N_l\}} w_{pk}^l o_p^l \\ o_k^{l+1} = \varphi(s_k^{l+1}) \end{cases}$$

$\forall k = 1, \dots, K :$

$$h^k(x_i) = o_k^L$$



Couche de sortie Vraies sorties

Définition d'un loss en vue de l'apprentissage des paramètres $\Theta = \{w_{pk}^l\}_{p,k,l}$

Exemple d'application : Reconnaissance de caractéristiques dans des images



Jeu de données *CelebA*

Une **entrée** $x_i = (x_i^1, x_i^2, \dots, x_i^p)$ est ici une image mise à plat.

Pour une image RGB de taille 400x300 :

- $(x_i^1, \dots, x_i^{400})$ est la 1^{ère} ligne de l'image sur le canal Rouge
- $(x_i^{401}, \dots, x_i^{800})$ est la 2^{ème} ligne de l'image sur le canal Rouge
- ...
- $(x_i^{299 \cdot 400 + 1}, \dots, x_i^{300 \cdot 400})$ est la 300^{ème} ligne de l'image sur le canal Rouge
- $(x_i^{300 \cdot 400 + 1}, \dots, x_i^{300 \cdot 400 + 400})$ est la 1^{ère} ligne de l'image sur le canal Vert
- ...

Une **sortie** $y_i = (y_i^1, y_i^2, \dots, y_i^K)$ est ici le fait d'observer différentes caractéristiques dans l'image

- $y_i^1 = 1$ si la personne a des lunettes et $y_i^1 = 0$ sinon ;
- Pareil pour y_i^2 avec le fait de sourire ;
- ...

Exemple d'application : Reconnaissance de caractéristiques dans des images

Une **entrée** $x_i = (x_i^1, x_i^2, \dots, x_i^p)$ est ici une image mise à plat.



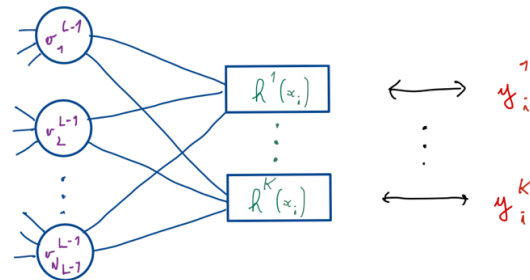
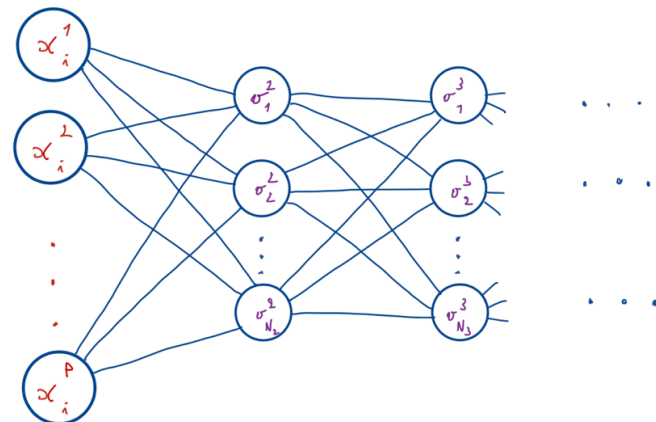
Jeu de données *CelebA*

Pour une image RGB de taille 400x300 :

- $(x_i^1, \dots, x_i^{400})$ est la 1^{ère} ligne de l'image sur le canal Rouge
- $(x_i^{401}, \dots, x_i^{800})$ est la 2^{ème} ligne de l'image sur le canal Rouge
- ...
- $(x_i^{299*400+1}, \dots, x_i^{300*400})$ est la 300^{ème} ligne de l'image sur le canal Rouge
- $(x_i^{300*400+1}, \dots, x_i^{300*400+400})$ est la 1^{ère} ligne de l'image sur le canal Vert
- ...

Une **sortie** $y_i = (y_i^1, y_i^2, \dots, y_i^K)$ est ici le fait d'observer différentes caractéristiques dans l'image

- $y_i^1 = 1$ si la personne a des lunettes et $y_i^1 = 0$ sinon ;
- Pareil pour y_i^2 avec le fait de sourire ;
- ...



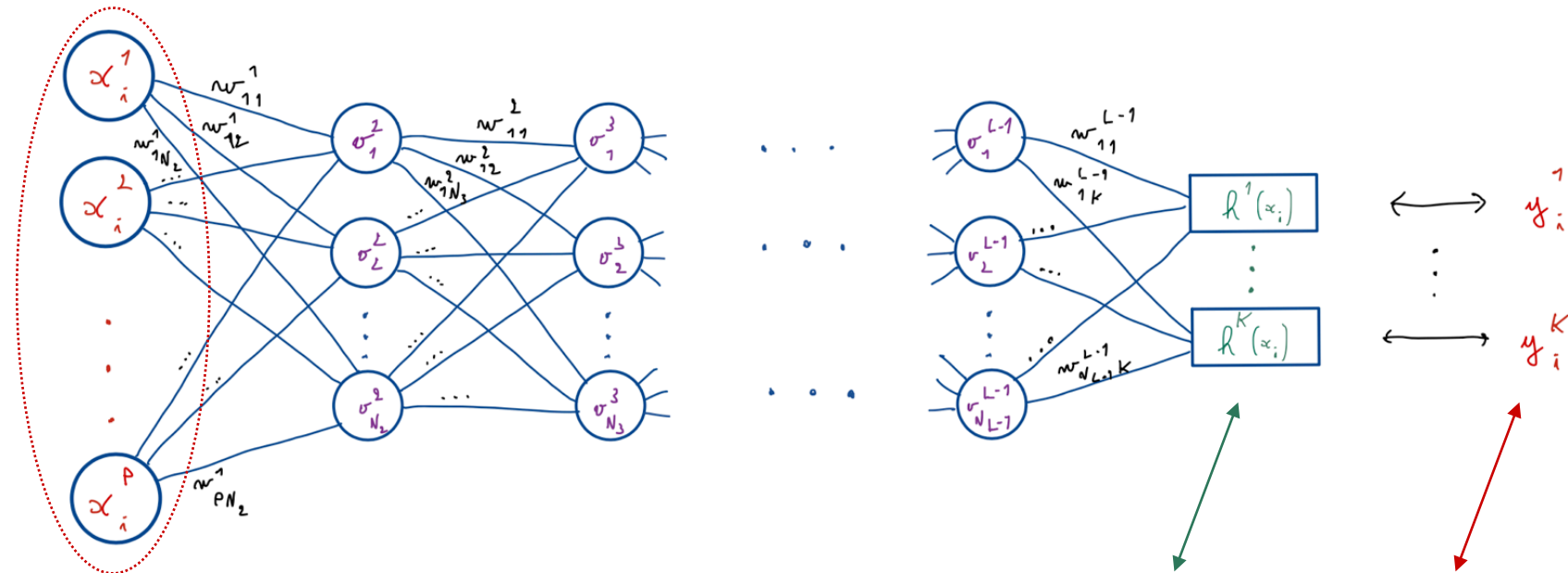
Un *loss* raisonnable ici est :

$$loss(h_{\Theta}(x_i), y_i) = \sum_{k=1}^K (h_{\Theta}^k(x_i) - y_i^k)^2$$

(Mais il en existe de nombreux autres... qui doivent cependant rester dérivables)

Exemple d'application : Reconnaissance de caractéristiques dans des images

Avec des poids $\Theta = \{w_{pk}^l\}_{p,k,l}$ **bien** calibrés :



$$h_{\Theta}^1(x_i) = 0.001 \quad \text{et} \quad y_i^1 = 0$$

$$h_{\Theta}^1(x_i) = 0.003 \quad \text{et} \quad y_i^2 = 0$$

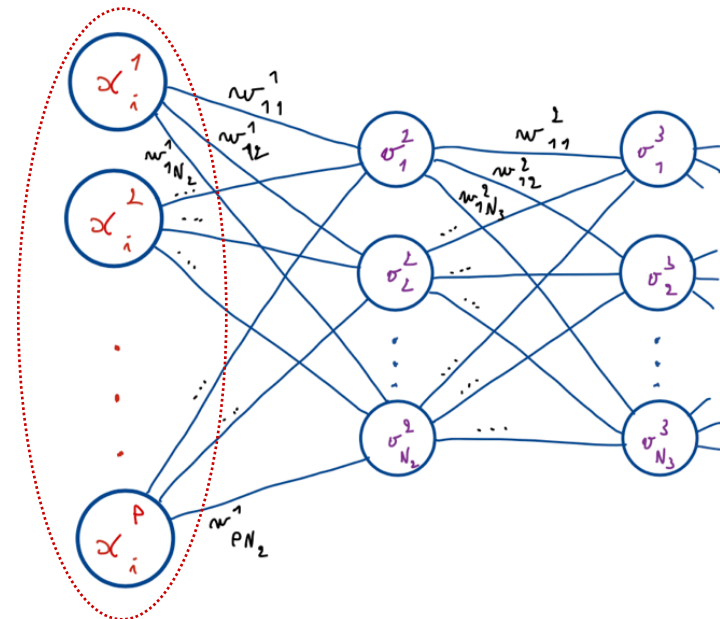
...

$$\text{loss} (h_{\Theta}(x_i), y_i) = \sum_{k=1}^K (h_{\Theta}^k(x_i) - y_i^k)^2 = 0.0004$$

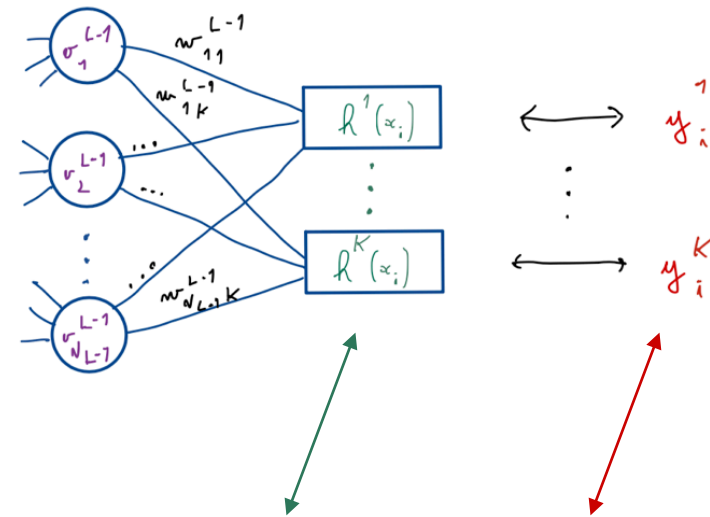


Exemple d'application : Reconnaissance de caractéristiques dans des images

Avec des poids $\Theta = \{w_{pk}^l\}_{p,k,l}$ **bien** calibrés :



...



$$h_{\Theta}^1(x_i) = 0.999 \text{ et } y_i^1 = 1$$

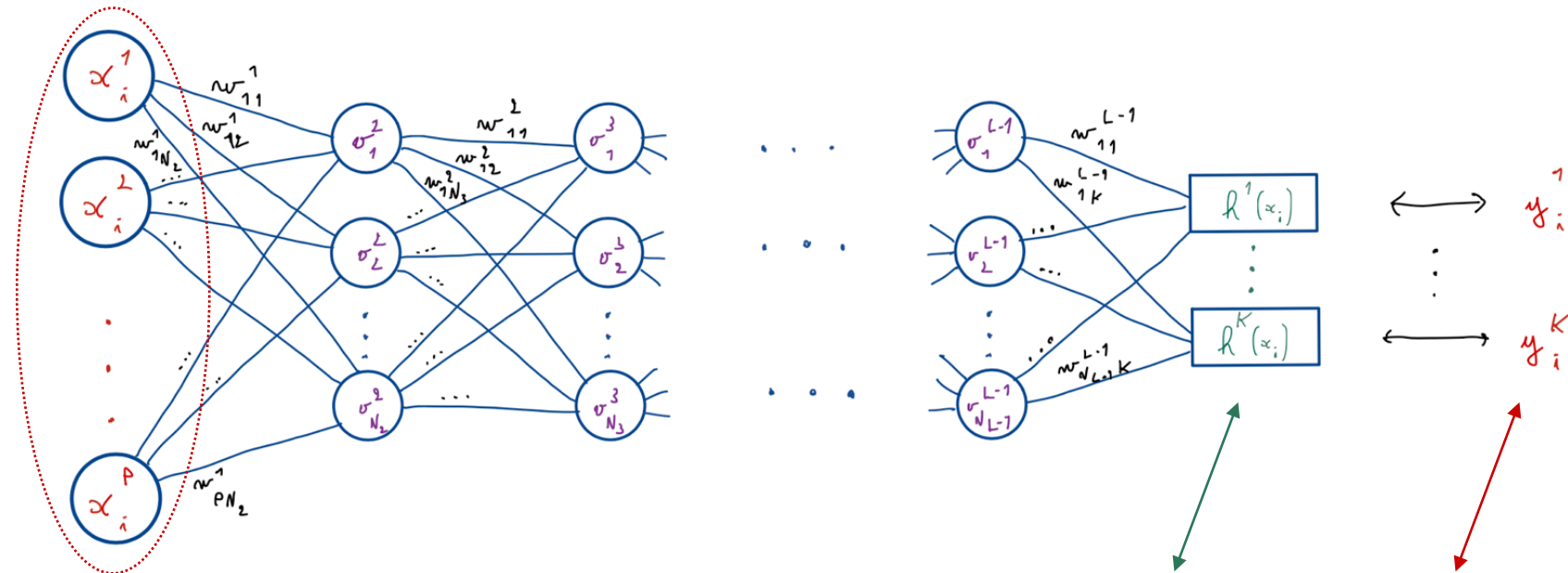
$$h_{\Theta}^1(x_i) = 0.980 \text{ et } y_i^2 = 1$$

...

$$\text{loss}(h_{\Theta}(x_i), y_i) = \sum_{k=1}^K (h_{\Theta}^k(x_i) - y_i^k)^2 = 0.0031$$

Exemple d'application : Reconnaissance de caractéristiques dans des images

Avec des poids $\Theta = \{w_{pk}^l\}_{p,k,l}$ **mal** calibrés :



$$h_{\Theta}^1(x_i) = 0.402 \quad \text{et} \quad y_i^1 = 0$$

$$h_{\Theta}^1(x_i) = 0.831 \quad \text{et} \quad y_i^2 = 0$$

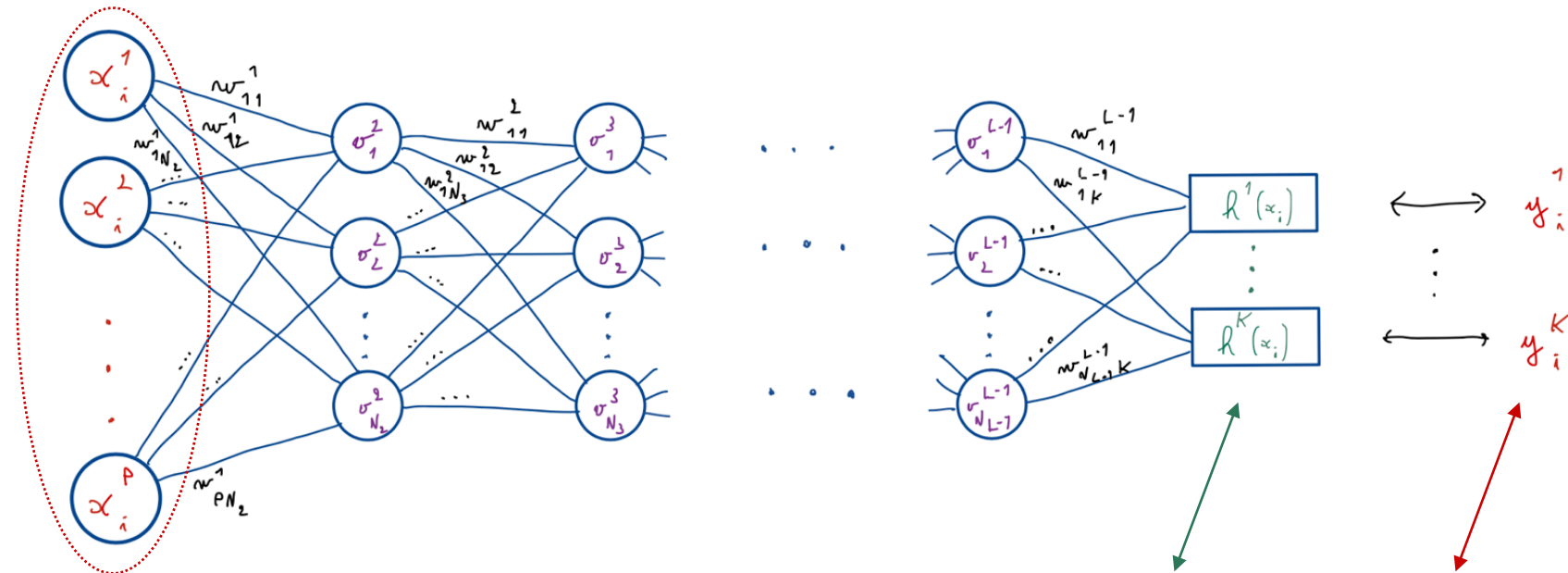
...

$$\text{loss}(h_{\Theta}(x_i), y_i) = \sum_{k=1}^K (h_{\Theta}^k(x_i) - y_i^k)^2 = 0.376$$



Exemple d'application : Reconnaissance de caractéristiques dans des images

Avec des poids $\Theta = \{w_{pk}^l\}_{p,k,l}$ **mal** calibrés :

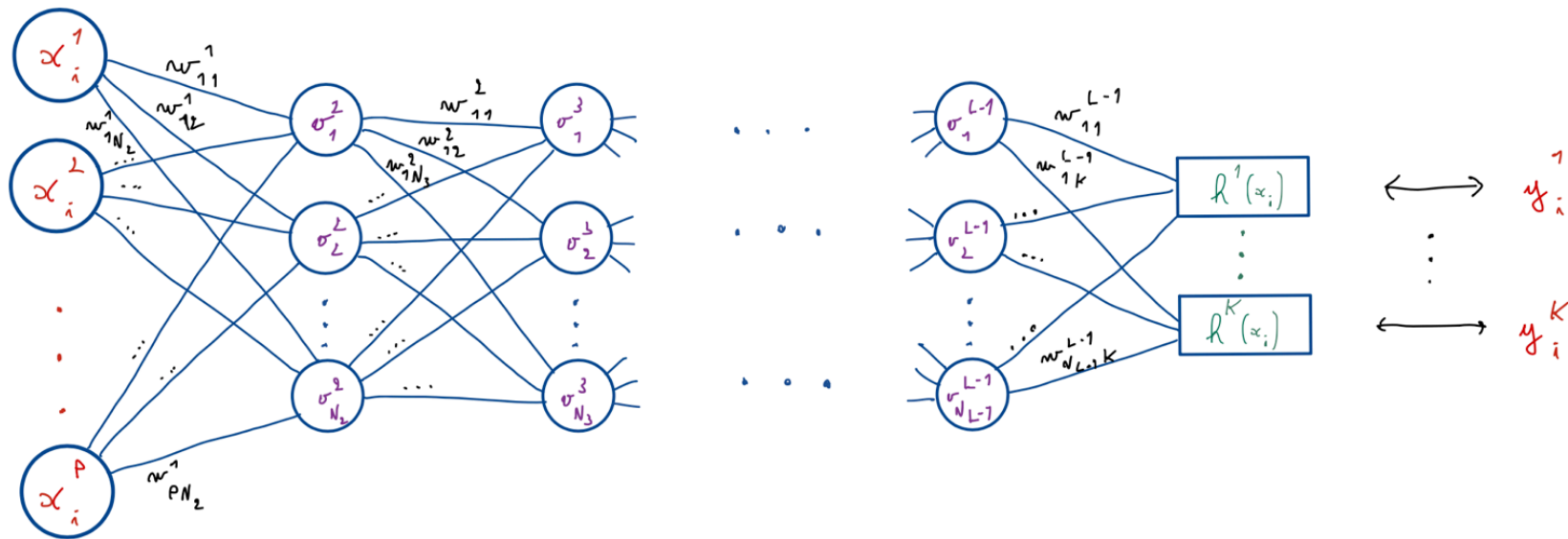


$$h_{\Theta}^1(x_i) = 0.823 \quad \text{et} \quad y_i^1 = 1$$

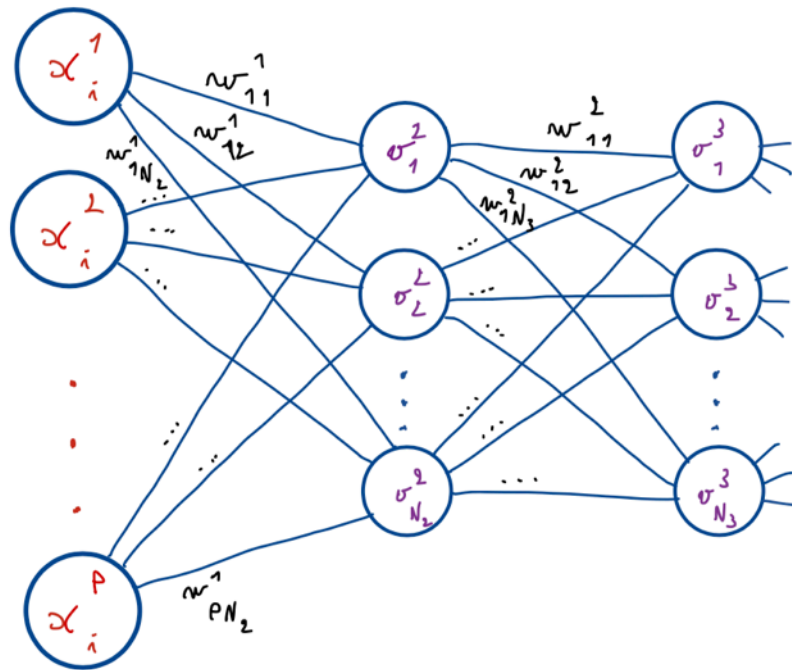
$$h_{\Theta}^1(x_i) = 0.789 \quad \text{et} \quad y_i^2 = 1$$

...

$$\text{loss}(h_{\Theta}(x_i), y_i) = \sum_{k=1}^K (h_{\Theta}^k(x_i) - y_i^k)^2 = 0.187$$

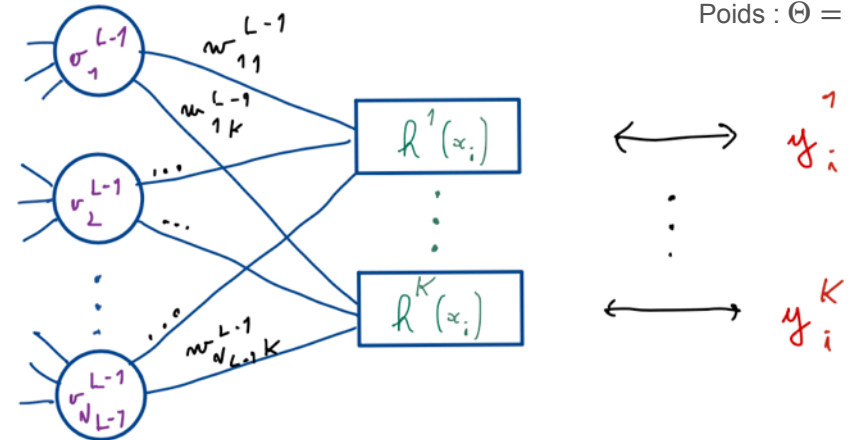


Recherche des poids optimaux pour minimiser en moyenne le *loss* sur un jeu d'apprentissage (*i.e.* le risque empirique) → **descente de gradient en grande dimension**



Risque empirique : $R_{\Theta}((x_i, y_i)_{i=1, \dots, n}) = \frac{1}{n} \sum_{i=1}^n \text{loss}(h_{\Theta}(x_i), y_i)$

Poids : $\Theta = \{w_{pk}^l\}_{p,k,l}$



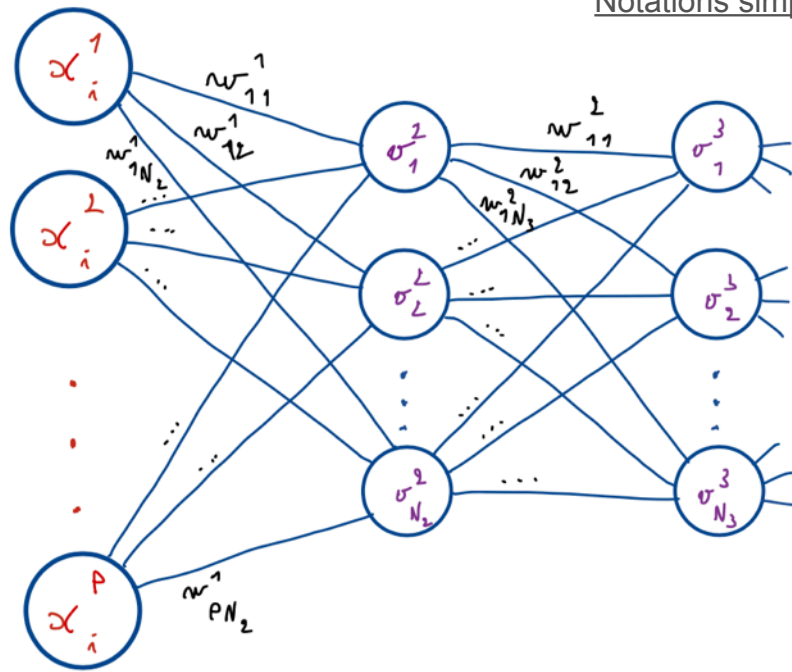
Gradient du risque empirique :

$$\begin{aligned} \nabla R_{\Theta}((x_i, y_i)_{i=1, \dots, n}) &= \left(\frac{\partial R_{\Theta}(\dots)}{\partial w_{1,1}^1}, \frac{\partial R_{\Theta}(\dots)}{\partial w_{1,2}^1}, \dots, \frac{\partial R_{\Theta}(\dots)}{\partial w_{N_{L-1},K}^{N_{L-1}}} \right)^T \\ &= \sum_{i=1}^n \sum_{k=1}^K \left(\frac{\partial (h^k(x_i) - y_i^k)^2}{\partial w_{1,1}^1}, \frac{\partial (h^k(x_i) - y_i^k)^2}{\partial w_{1,2}^1}, \dots, \frac{\partial (h^k(x_i) - y_i^k)^2}{\partial w_{N_{L-1},K}^{N_{L-1}}} \right)^T \end{aligned}$$

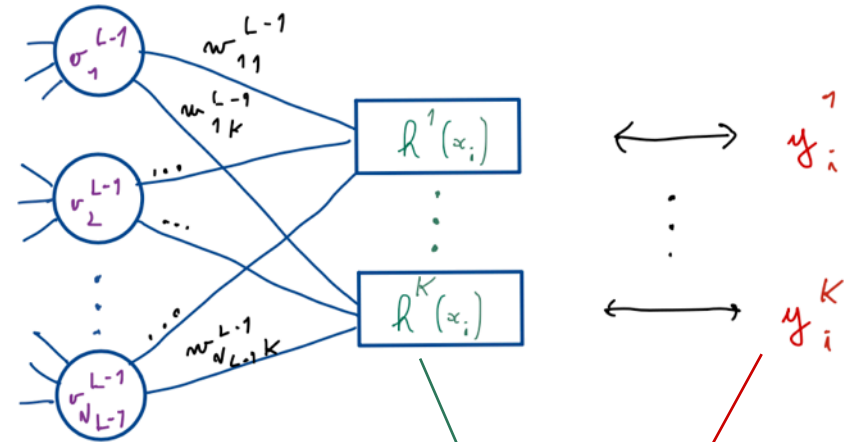
Calculable analytiquement... mais subtile à calculer car les $h^k(x_i)$ dépendent de beaucoup de fonctions dépendant des $\{w_{pk}^l\}_{p,k,l}$ imbriquées les unes dans les autres

2.3) Réseaux de neurones → Calcul du gradient (backpropagation)

Notations simplifiées : On utilise ici E pour désigner $R_{\Theta}(\dots)$ et on se focalise sur un seul $k \in \{1, \dots, K\}$



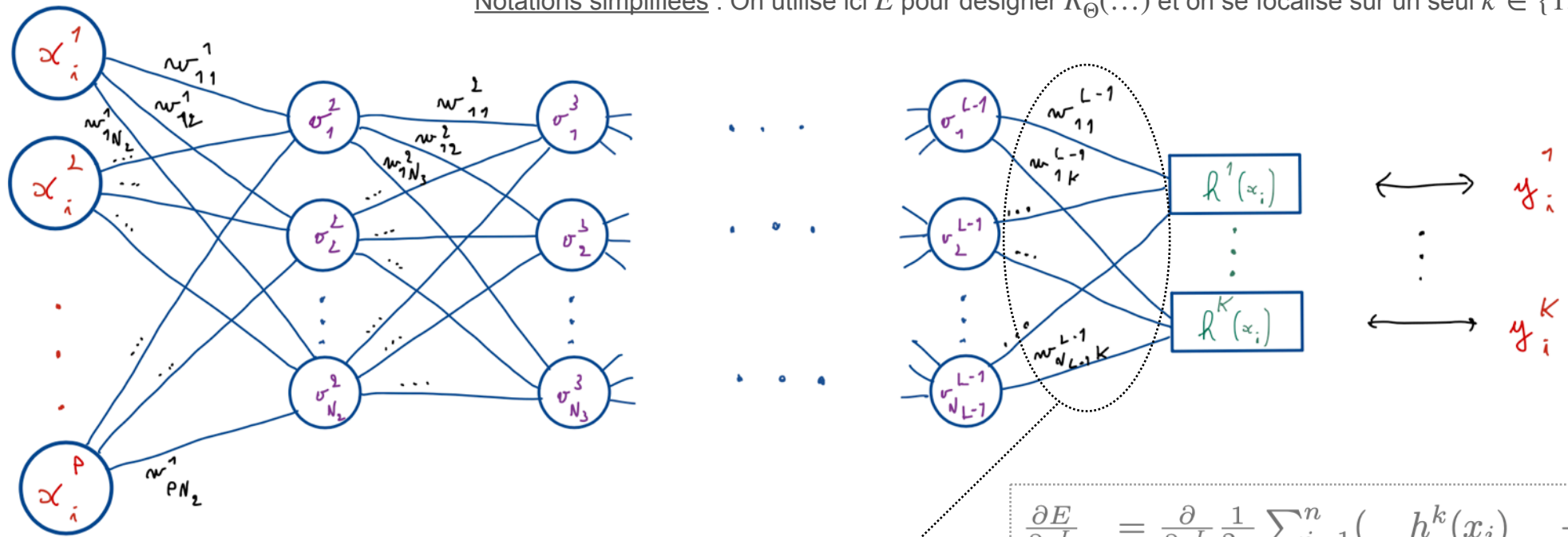
...



$$\begin{aligned} \frac{\partial E}{\partial o_k^L} &= \frac{\partial}{\partial o_k^L} \frac{1}{2n} \sum_{i=1}^n (\underbrace{h^k(x_i)}_{=o_k^L \text{ for obs. } i} - y_i^k)^2 \\ &= \frac{1}{n} \sum_{i=1}^n (h^k(x_i) - y_i^k) \end{aligned}$$

2.3) Réseaux de neurones → Calcul du gradient (backpropagation)

Notations simplifiées : On utilise ici E pour désigner $R_{\Theta}(\dots)$ et on se focalise sur un seul $k \in \{1, \dots, K\}$



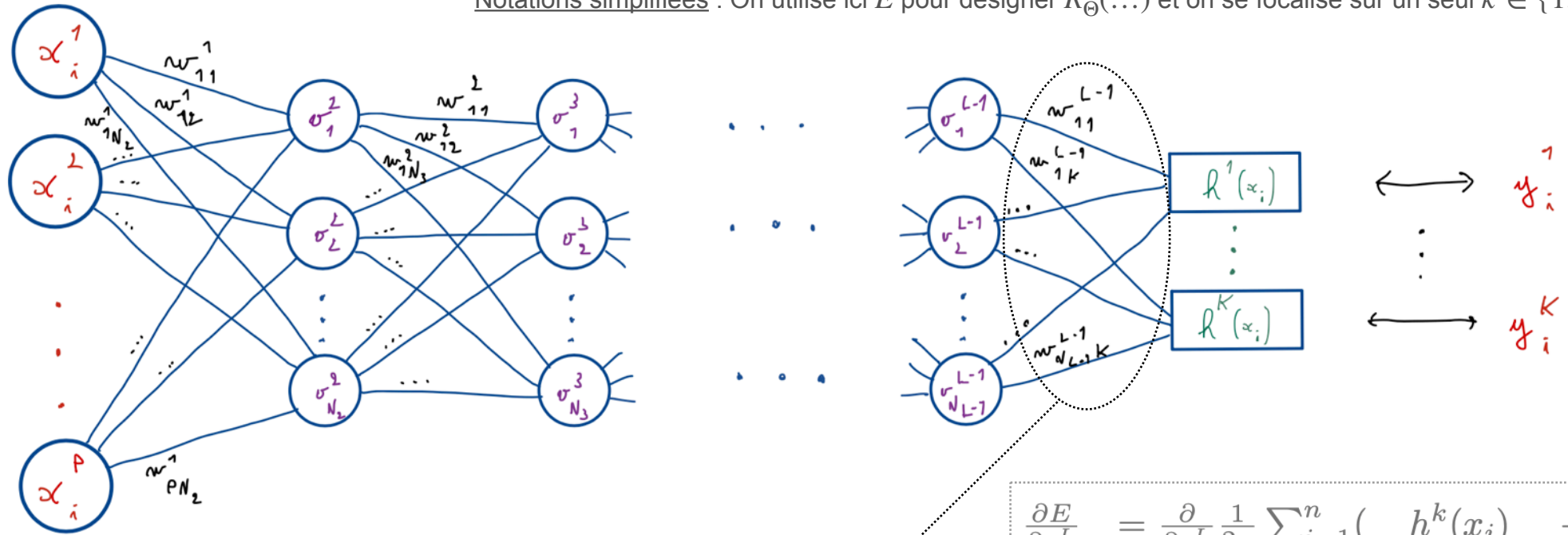
$$\frac{\partial E}{\partial w_{pk}^l} = \frac{\partial E}{\partial o_k^{l+1}} \frac{\partial o_k^{l+1}}{\partial s_k^{l+1}} \frac{\partial s_k^{l+1}}{\partial w_{pk}^l}$$

$l = L - 1$

$$\begin{aligned} \frac{\partial E}{\partial o_k^L} &= \frac{\partial}{\partial o_k^L} \frac{1}{2n} \sum_{i=1}^n (\underbrace{h^k(x_i)}_{=o_k^L \text{ for obs. } i} - y_i^k)^2 \\ &= \frac{1}{n} \sum_{i=1}^n (h^k(x_i) - y_i^k) \end{aligned}$$

2.3) Réseaux de neurones → Calcul du gradient (backpropagation)

Notations simplifiées : On utilise ici E pour désigner $R_{\Theta}(\dots)$ et on se focalise sur un seul $k \in \{1, \dots, K\}$



$$\frac{\partial E}{\partial o_k^L} = \frac{\partial}{\partial o_k^L} \frac{1}{2n} \sum_{i=1}^n (\underbrace{h^k(x_i)}_{=o_k^L \text{ for obs. } i} - y_i^k)^2$$

$$= \frac{1}{n} \sum_{i=1}^n (h^k(x_i) - y_i^k)$$

$$\frac{\partial E}{\partial w_{pk}^l} = \frac{\partial E}{\partial o_k^{l+1}} \frac{\partial o_k^{l+1}}{\partial s_k^{l+1}} \frac{\partial s_k^{l+1}}{\partial w_{pk}^l}$$

$l = L - 1$

$$\frac{\partial o_k^{l+1}}{\partial s_k^{l+1}} = \frac{\partial}{\partial s_k^{l+1}} \varphi(s_k^{l+1}) \text{ [connu]}$$

$l = L - 1$

$$\frac{\partial s_k^{l+1}}{\partial w_{pk}^l} = \frac{\partial}{\partial w_{pk}^l} \sum_{p' \in \{1, \dots, N_l\}} w_{p'k}^l o_{p'}^l$$

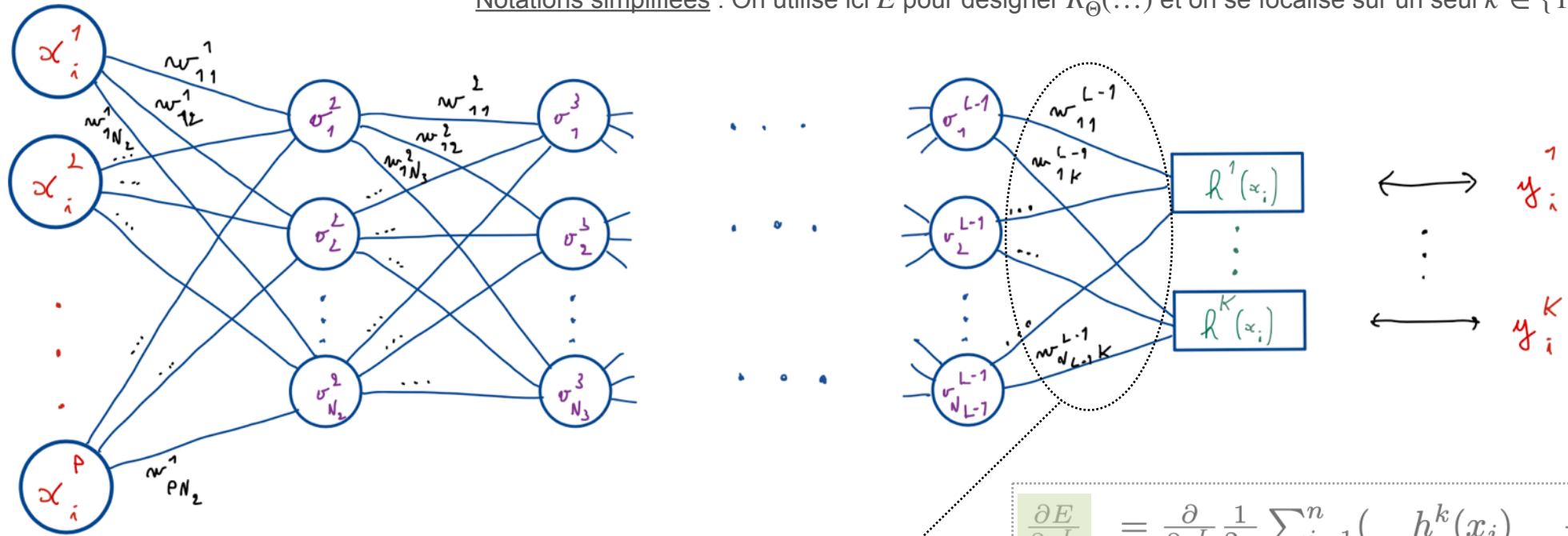
$$= \frac{\partial}{\partial w_{pk}^l} w_{pk}^l o_p^l$$

$$= o_p^l$$

$l = L - 1$

2.3) Réseaux de neurones → Calcul du gradient (backpropagation)

Notations simplifiées : On utilise ici E pour désigner $R_{\Theta}(\dots)$ et on se focalise sur un seul $k \in \{1, \dots, K\}$



$$\frac{\partial E}{\partial w_{pk}^l} = \frac{\partial E}{\partial o_k^{l+1}} \frac{\partial o_k^{l+1}}{\partial s_k^{l+1}} \frac{\partial s_k^{l+1}}{\partial w_{pk}^l}$$

$l = L - 1$

$$\frac{\partial E}{\partial o_k^L} = \frac{\partial}{\partial o_k^L} \frac{1}{2n} \sum_{i=1}^n (\underbrace{h^k(x_i)}_{=o_k^L \text{ for obs. } i} - y_i^k)^2$$

$$= \frac{1}{n} \sum_{i=1}^n (h^k(x_i) - y_i^k)$$

$$\frac{\partial o_k^{l+1}}{\partial s_k^{l+1}} = \frac{\partial}{\partial s_k^{l+1}} \varphi(s_k^{l+1}) \text{ [connu]}$$

$l = L - 1$

$$\frac{\partial s_k^{l+1}}{\partial w_{pk}^l} = \frac{\partial}{\partial w_{pk}^l} \sum_{p' \in \{1, \dots, N_l\}} w_{p'k}^l o_{p'}^l$$

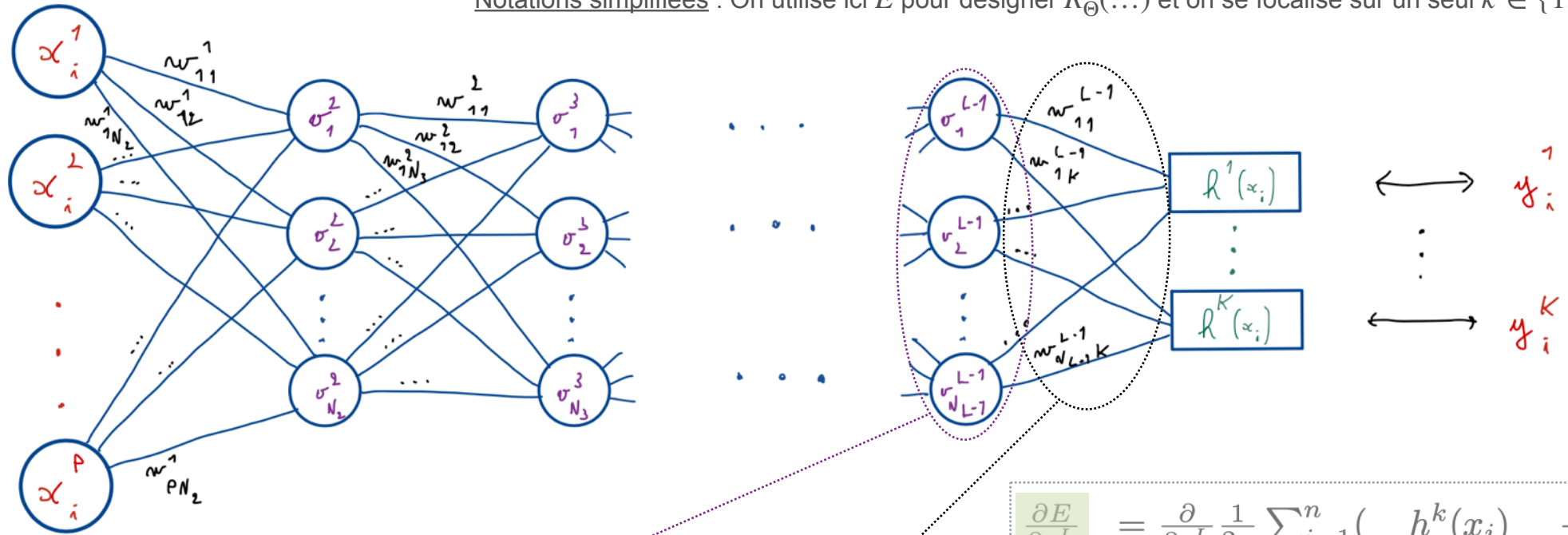
$$= \frac{\partial}{\partial w_{pk}^l} w_{pk}^l o_p^l$$

$$= o_p^l$$

$l = L - 1$

2.3) Réseaux de neurones → Calcul du gradient (backpropagation)

Notations simplifiées : On utilise ici E pour désigner $R_\Theta(\dots)$ et on se focalise sur un seul $k \in \{1, \dots, K\}$



$$\frac{\partial E}{\partial o_k^l} = \sum_{p=1}^{N_{l+1}} \underbrace{\frac{\partial E}{\partial o_k^{l+1}}}_{\text{Connu à la couche } l+1} \frac{\partial o_k^{l+1}}{\partial s_k^{l+1}} \frac{\partial s_k^{l+1}}{\partial o_k^l} = w_{pk}^{l+1} \frac{\partial o_k^{l+1}}{\partial s_k^{l+1}} \quad l = L - 1$$

$$\frac{\partial E}{\partial w_{pk}^l} = \frac{\partial E}{\partial o_k^{l+1}} \frac{\partial o_k^{l+1}}{\partial s_k^{l+1}} \frac{\partial s_k^{l+1}}{\partial w_{pk}^l} \quad l = L - 1$$

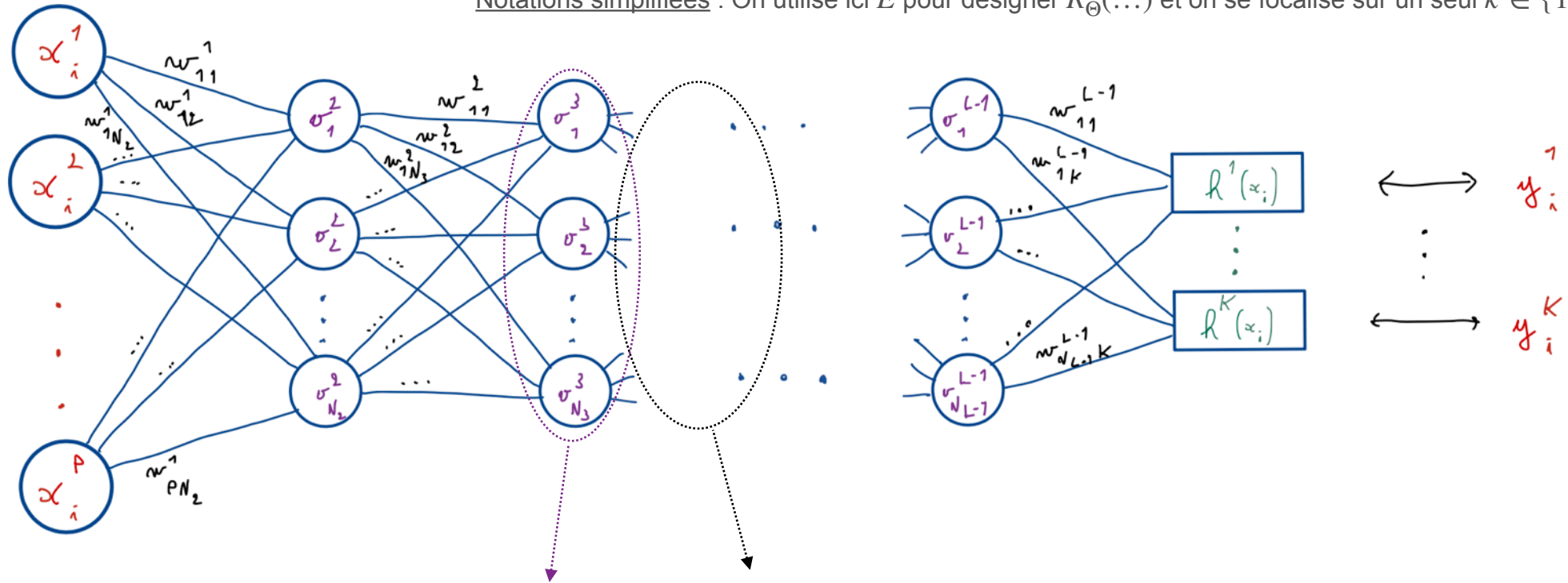
$$\begin{aligned} \frac{\partial E}{\partial o_k^L} &= \frac{\partial}{\partial o_k^L} \frac{1}{2n} \sum_{i=1}^n (h^k(x_i) - y_i^k)^2 \\ &= o_k^L \text{ for obs. } i \\ &= \frac{1}{n} \sum_{i=1}^n (h^k(x_i) - y_i^k) \end{aligned}$$

$$\frac{\partial o_k^{l+1}}{\partial s_k^{l+1}} = \frac{\partial}{\partial s_k^{l+1}} \varphi(s_k^{l+1}) \quad [\text{connu}] \quad l = L - 1$$

$$\begin{aligned} \frac{\partial s_k^{l+1}}{\partial w_{pk}^l} &= \frac{\partial}{\partial w_{pk}^l} \sum_{p' \in \{1, \dots, N_l\}} w_{p'k}^l o_{p'}^l \\ &= \frac{\partial}{\partial w_{pk}^l} w_{pk}^l o_p^l \\ &= o_p^l \quad l = L - 1 \end{aligned}$$

2.3) Réseaux de neurones → Calcul du gradient (backpropagation)

Notations simplifiées : On utilise ici E pour désigner $R_{\Theta}(\dots)$ et on se focalise sur un seul $k \in \{1, \dots, K\}$



$$\frac{\partial E}{\partial o_k^l} = \sum_{p=1}^{N_{l+1}} \underbrace{\frac{\partial E}{\partial o_k^{l+1}}}_{\text{Connu à la couche } l+1} \underbrace{\frac{\partial o_k^{l+1}}{\partial s_k^{l+1}}}_{\text{Derivée de } \varphi} \underbrace{\frac{\partial s_k^{l+1}}{\partial o_k^l}}_{=w_{pk}^l}$$

$l = 3$

$$\frac{\partial E}{\partial w_{pk}^l} = \frac{\partial E}{\partial o_k^{l+1}} \frac{\partial o_k^{l+1}}{\partial s_k^{l+1}} \frac{\partial s_k^{l+1}}{\partial w_{pk}^l}$$

$l = 3$

$$\frac{\partial o_k^{l+1}}{\partial s_k^{l+1}} = \frac{\partial}{\partial s_k^{l+1}} \varphi(s_k^{l+1}) \text{ [connu]}$$

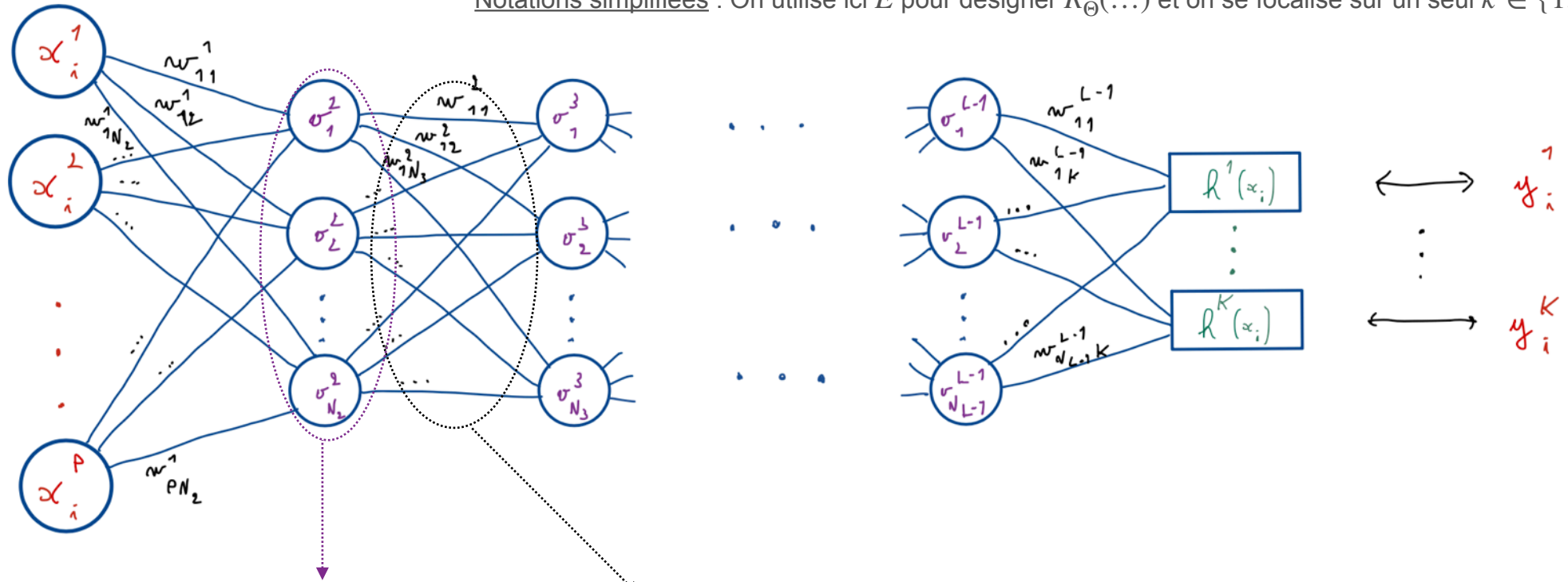
$l = 3$

$$\begin{aligned} \frac{\partial s_k^{l+1}}{\partial w_{pk}^l} &= \frac{\partial}{\partial w_{pk}^l} \sum_{p' \in \{1, \dots, N_l\}} w_{p'k}^l o_{p'}^l \\ &= \frac{\partial}{\partial w_{pk}^l} w_{pk}^l o_p^l \\ &= o_p^l \end{aligned}$$

$l = 3$

2.3) Réseaux de neurones → Calcul du gradient (backpropagation)

Notations simplifiées : On utilise ici E pour désigner $R_{\Theta}(\dots)$ et on se focalise sur un seul $k \in \{1, \dots, K\}$



$$\frac{\partial E}{\partial o_k^l} = \sum_{p=1}^{N_{l+1}} \underbrace{\frac{\partial E}{\partial o_k^{l+1}}}_{\text{Connu à la couche } l+1} \underbrace{\frac{\partial o_k^{l+1}}{\partial s_k^{l+1}}}_{\text{Derivée de } \varphi} \underbrace{\frac{\partial s_k^{l+1}}{\partial o_k^l}}_{=w_{pk}^l}$$

$l = 2$

$$\frac{\partial E}{\partial w_{pk}^l} = \frac{\partial E}{\partial o_k^{l+1}} \frac{\partial o_k^{l+1}}{\partial s_k^{l+1}} \frac{\partial s_k^{l+1}}{\partial w_{pk}^l}$$

$l = 2$

$$\frac{\partial o_k^{l+1}}{\partial s_k^{l+1}} = \frac{\partial}{\partial s_k^{l+1}} \varphi(s_k^{l+1}) \text{ [connu]}$$

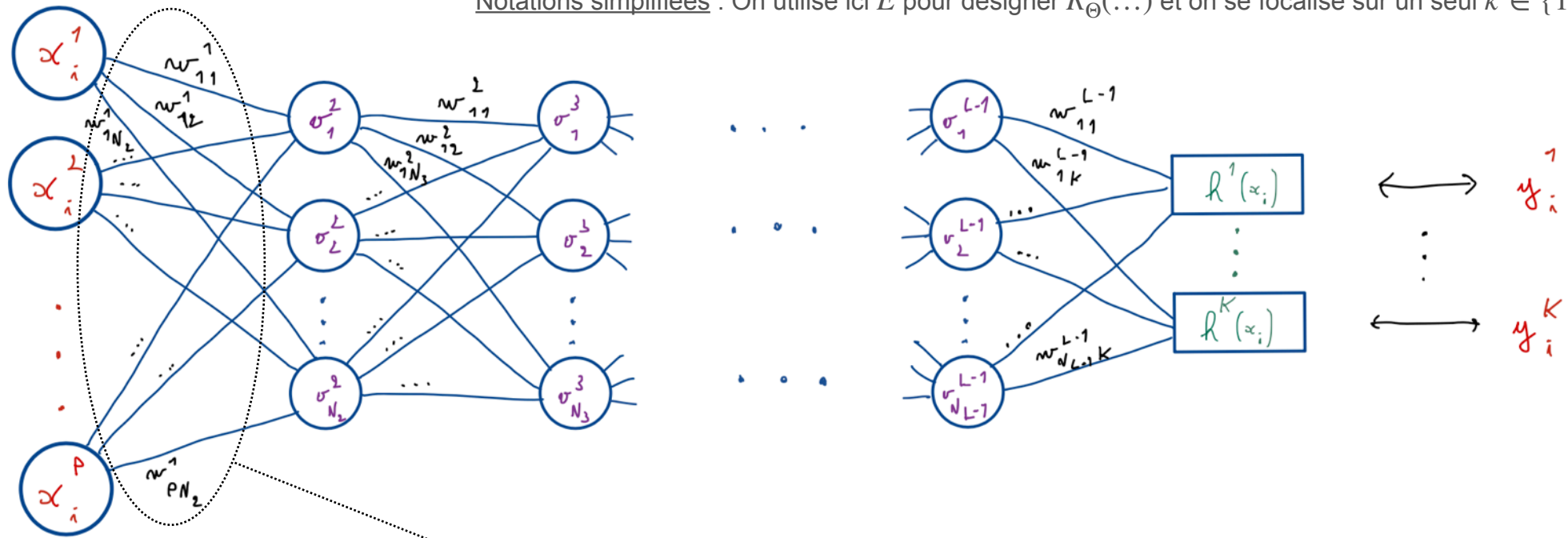
$l = 2$

$$\begin{aligned} \frac{\partial s_k^{l+1}}{\partial w_{pk}^l} &= \frac{\partial}{\partial w_{pk}^l} \sum_{p' \in \{1, \dots, N_l\}} w_{p'k}^l o_{p'}^l \\ &= \frac{\partial}{\partial w_{pk}^l} w_{pk}^l o_p^l \\ &= o_p^l \end{aligned}$$

$l = 2$

2.3) Réseaux de neurones → Calcul du gradient (backpropagation)

Notations simplifiées : On utilise ici E pour désigner $R_{\Theta}(\dots)$ et on se focalise sur un seul $k \in \{1, \dots, K\}$



$$\frac{\partial E}{\partial w_{pk}^l} = \frac{\partial E}{\partial o_k^{l+1}} \frac{\partial o_k^{l+1}}{\partial s_k^{l+1}} \frac{\partial s_k^{l+1}}{\partial w_{pk}^l}$$

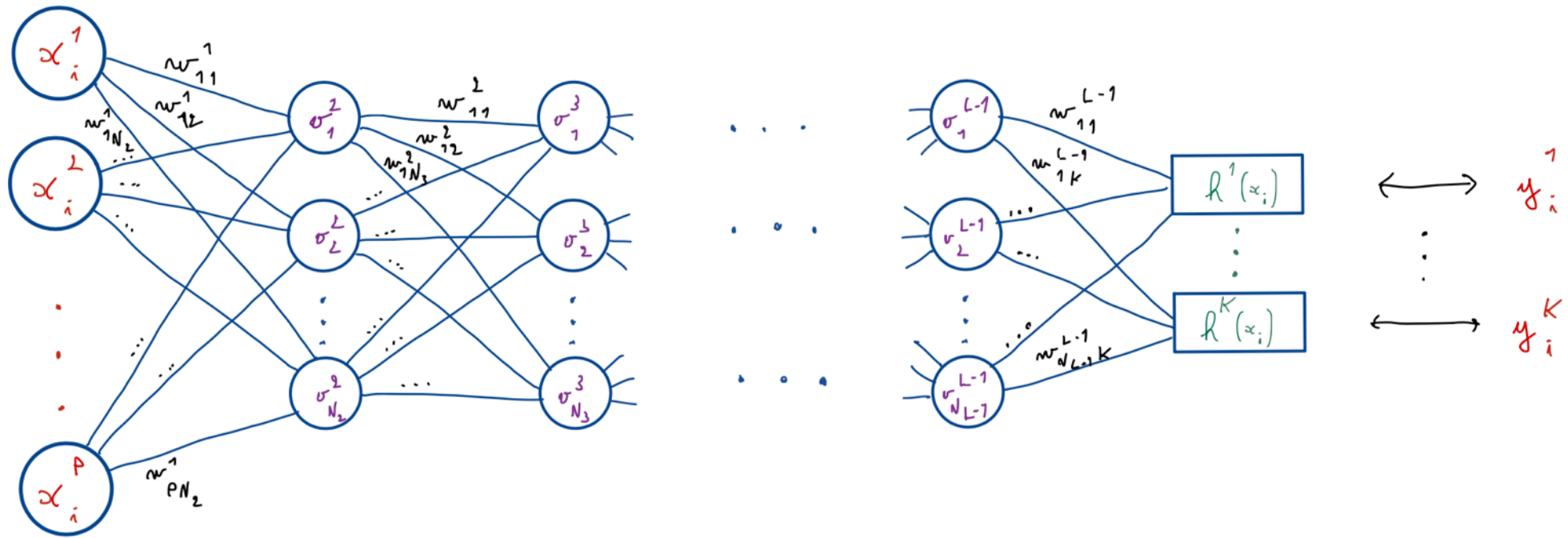
$l = 1$

$$\frac{\partial o_k^{l+1}}{\partial s_k^{l+1}} = \frac{\partial}{\partial s_k^{l+1}} \varphi(s_k^{l+1}) \text{ [connu]}$$

$l = 1$

$$\begin{aligned} \frac{\partial s_k^{l+1}}{\partial w_{pk}^l} &= \frac{\partial}{\partial w_{pk}^l} \sum_{p' \in \{1, \dots, N_l\}} w_{p'k}^l o_{p'}^l \\ &= \frac{\partial}{\partial w_{pk}^l} w_{pk}^l o_p^l \\ &= o_p^l \end{aligned}$$

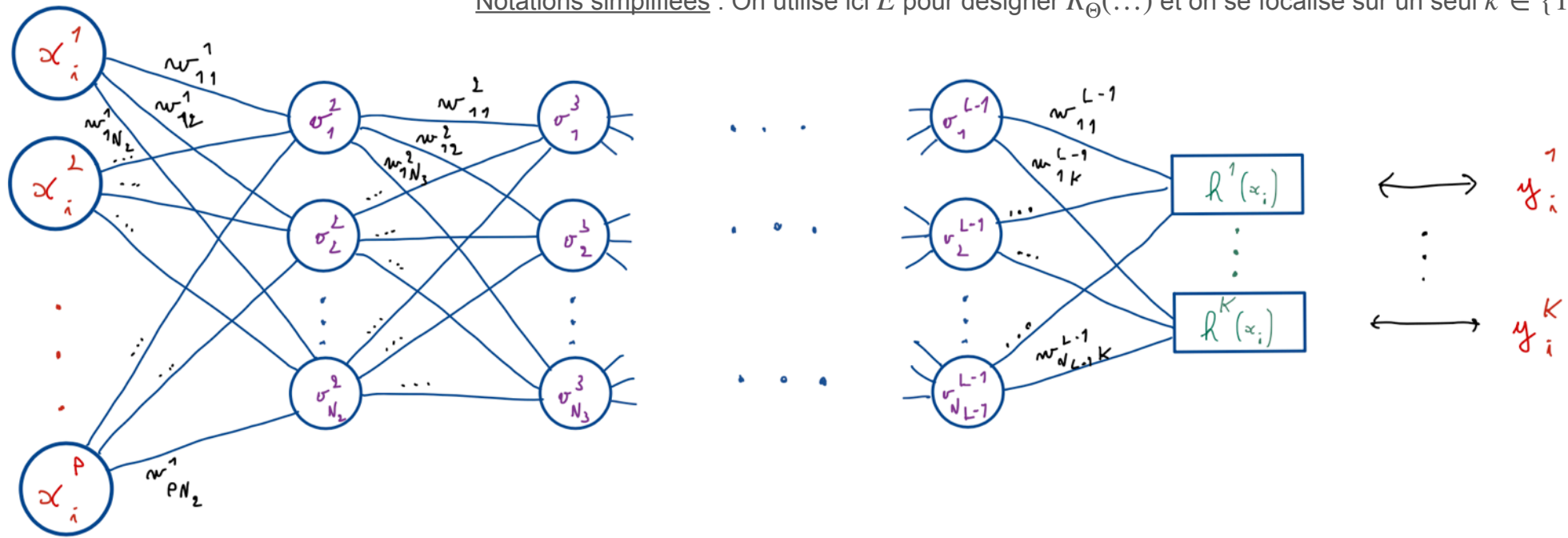
$l = 1$



BINGO !!!

On a calculé le gradient :
$$\nabla R_{\Theta}((x_i, y_i)_{i=1, \dots, n}) = \left(\frac{\partial R_{\Theta}(\dots)}{\partial w_{1,1}^1}, \frac{\partial R_{\Theta}(\dots)}{\partial w_{1,2}^1}, \dots, \frac{\partial R_{\Theta}(\dots)}{\partial w_{N_{L-1},K}^{N_{L-1}}} \right)^T$$

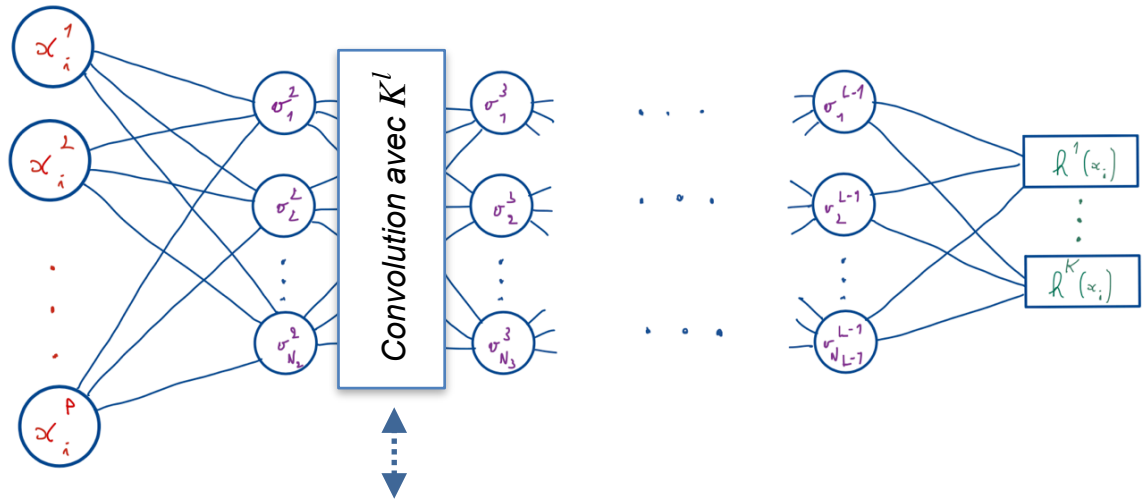
Notations simplifiées : On utilise ici E pour désigner $R_{\Theta}(\dots)$ et on se focalise sur un seul $k \in \{1, \dots, K\}$



Descente de gradient pour apprendre les $\{w_{pk}^l\}_{p,k,l}$:

- 1: (Phase *Forward*)
- 2: Pour chaque observation x_i , calcule $h(x_i) = (h^1(x_i), \dots, h^K(x_i))^T$
- 3: Pour chaque observation x_i , calcule les $\left(\frac{\partial E}{\partial o_k^L}\right)_i$ sur la couche de sortie en utilisant les $h^k(x_i)$ et les y_i^k .
- 4: (Phase *Backward*)
- 5: Pour l valant de $L - 1$ à 1 : Calcule les $\frac{\partial E}{\partial w_{pk}^l}$ et les $\frac{\partial E}{\partial o_p^l}$ en utilisant les $\frac{\partial E}{\partial o_p^{l+1}}$
- 6: (Etape de descente de gradient)
- 7: $\forall \{p, k, l\} : (w_{pk}^l) = (w_{pk}^l) - \eta \frac{\partial E}{\partial w_{pk}^l}$

Couches de convolution : On peut apprendre les poids de filtres de convolution optimaux, plutôt que les poids de couches denses (ou fully connected),.



$O_{m,n}^l$

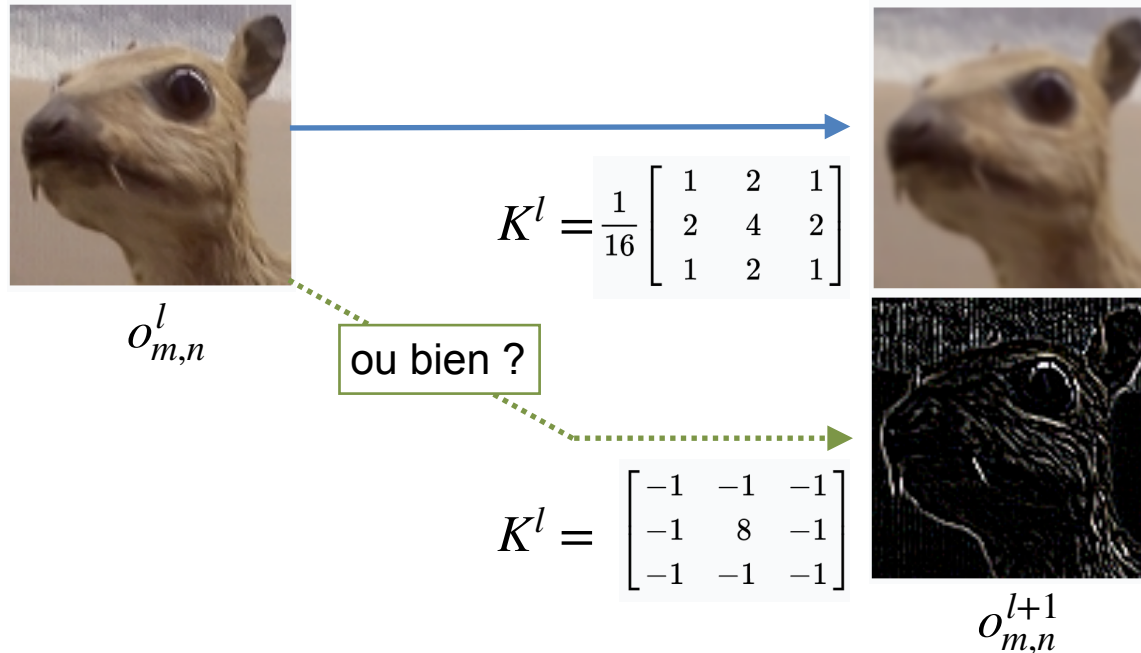
$K^l = \frac{1}{16} \begin{bmatrix} 1 & 2 & 1 \\ 2 & 4 & 2 \\ 1 & 2 & 1 \end{bmatrix}$

ou bien ?

$K^l = \begin{bmatrix} -1 & -1 & -1 \\ -1 & 8 & -1 \\ -1 & -1 & -1 \end{bmatrix}$

$O_{m,n}^{l+1}$

Couches de convolution : On peut *apprendre les poids de filtres de convolution optimaux*, plutôt que les poids de couches *denses* (ou fully connected),.



Modèle forward :

$$\begin{cases} s_{f,g}^{l+1} = \sum_{v=-V}^V \sum_{w=-W}^W K_{v,w}^l o_{f+v,g+w}^l \\ o_{f,g}^{l+1} = \varphi(s_{f,g}^{l+1}) \end{cases}$$

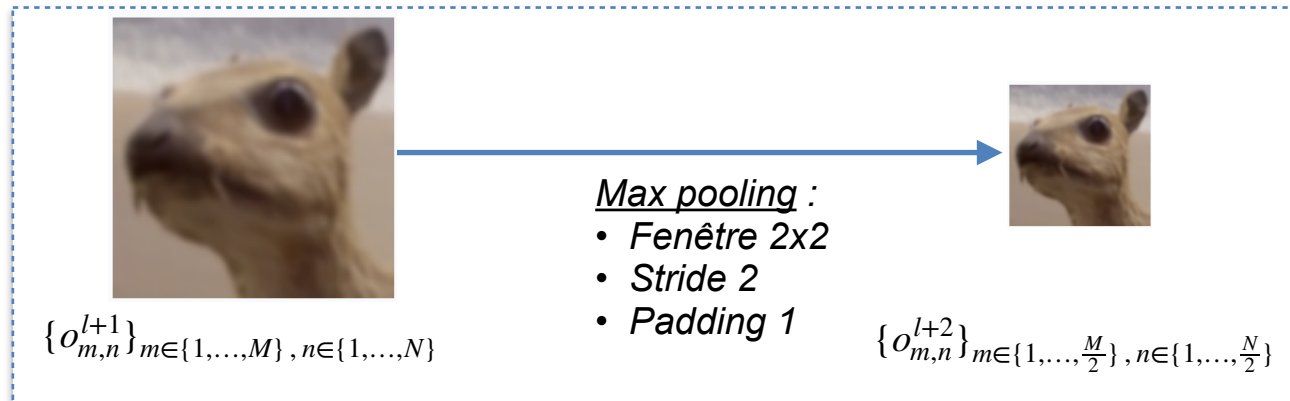
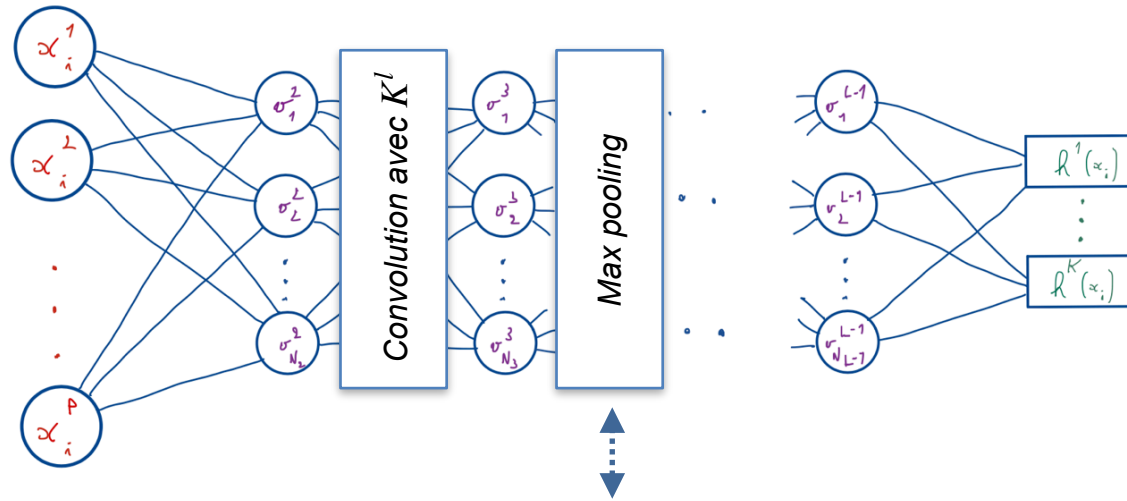
Equations backward :

$$\frac{\partial E}{\partial o_{m,n}^l} = \sum_{v=-V}^V \sum_{w=-W}^W \frac{\partial E}{\partial o_{m+v,n+w}^{l+1}} \frac{\partial o_{m+v,n+w}^{l+1}}{\partial s_{m+v,n+w}^{l+1}} \frac{\partial s_{m+v,n+w}^{l+1}}{\partial o_{m,n}^l} = \frac{\partial E}{\partial o_{m+v,n+w}^{l+1}} \varphi'(s_{m+v,n+w}^{l+1}) K_{-v,-w}^l$$

$$\frac{\partial E}{\partial K_{v,w}^l} = \sum_{m=1}^M \sum_{n=1}^N \frac{\partial E}{\partial o_{m,n}^{l+1}} \frac{\partial o_{m,n}^{l+1}}{\partial s_{m,n}^{l+1}} \frac{\partial s_{m,n}^{l+1}}{\partial K_{v,w}^l} = \frac{\partial E}{\partial o_{m,n}^{l+1}} \varphi'(s_{m,n}^{l+1}) o_{m+v,n+w}^l$$

Remarque : Se parallélise très bien sur un GPU

Couches de max pooling : Permet de réduire la dimension des données d'une couche à la suivante



Modèle forward :
$$o_{f,g}^{l+1} = \max_{v=0,\dots,V-1; w=0,\dots,W-1} o_{Vf+v, Wg+w}^l$$

Architecture de CNN classique :

Image du réseau : [Redmon and Angelova, IEEE ICRA 2015]

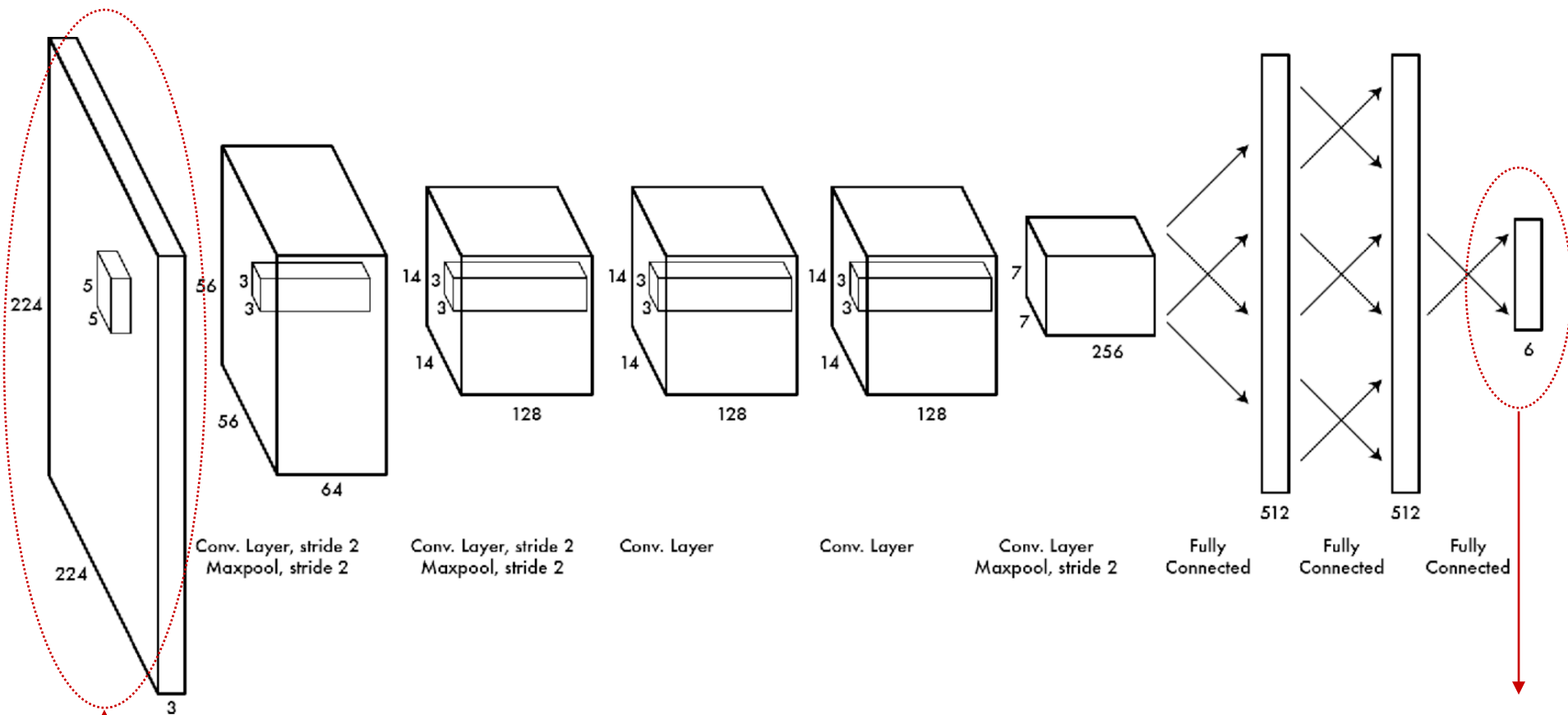


Image RGB de taille 224x224.

Exemple $x_i =$



Caractéristiques de l'image.

Exemple : $h_{\Theta}(x_i) = (0.02, \dots, 0.89)^T$

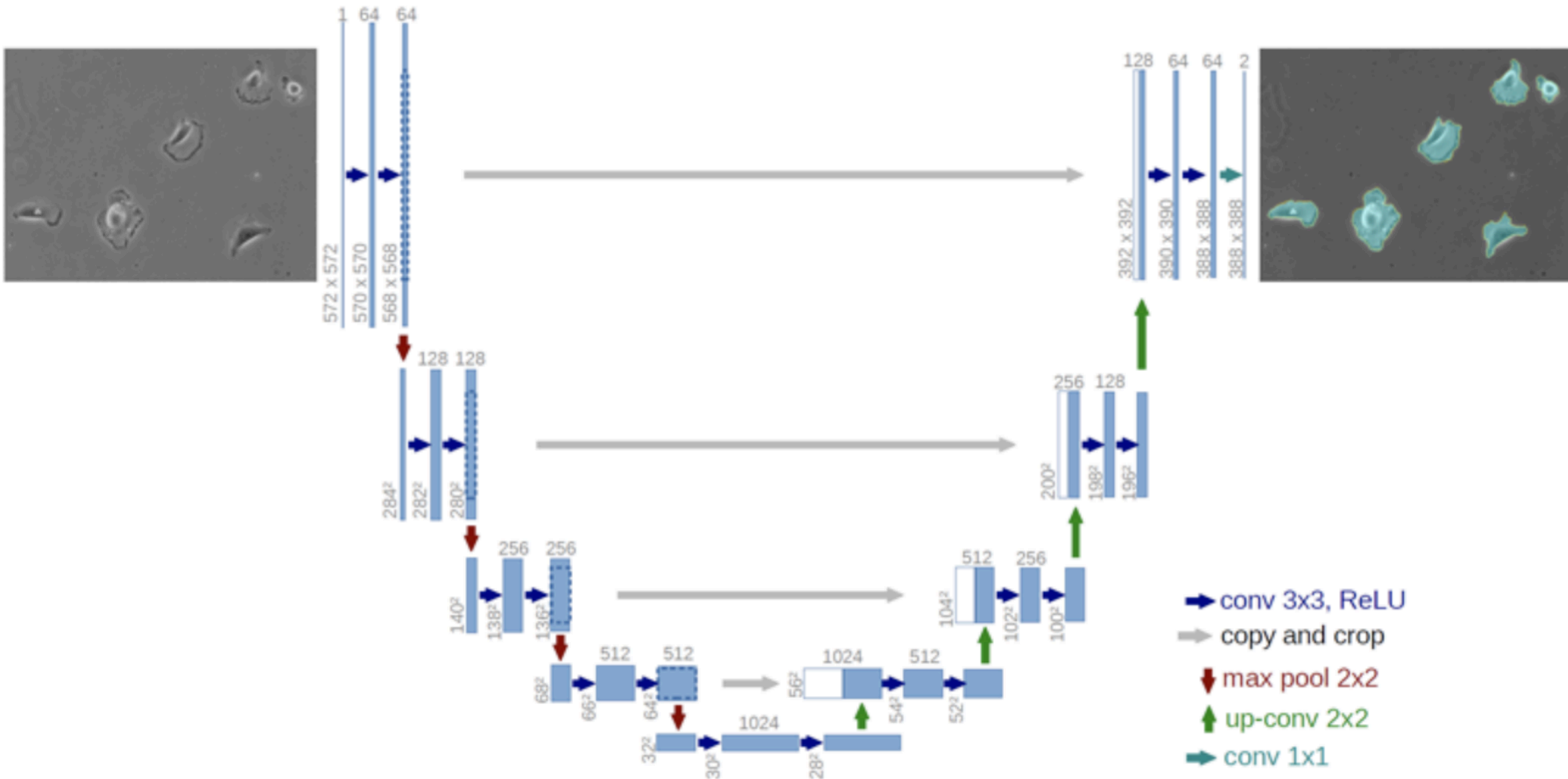
Lunettes

...

Chapeau

Architecture U-NET :

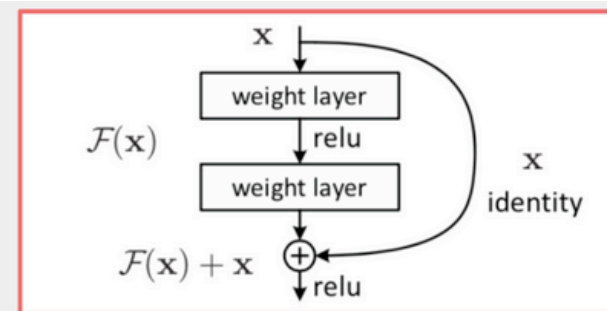
Image du réseau : [Ronneberger et al., MICCAI 2015]



Architecture ResNet :

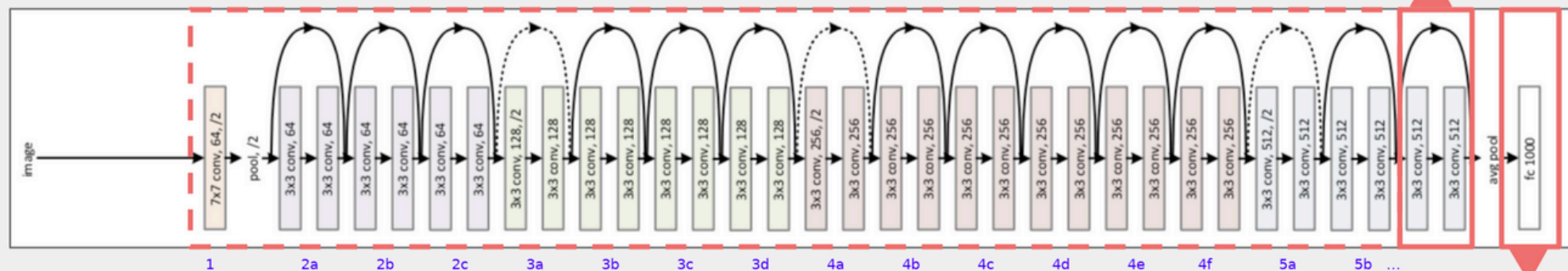
Image du réseau : ResNet50

Retrain ResNet50

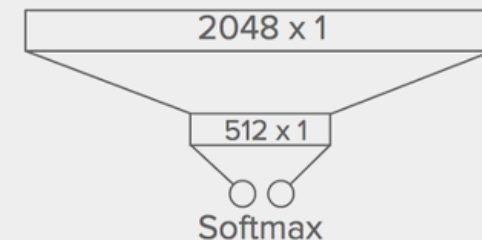


Residual Learning Block

ResNet50 Diagram



Re-architect fully-connected layers



MERCI !

Passons maintenant à  PyTorch